

86899

T. C.  
GAZİANTEP ÜNİVERSİTESİ  
TIP FAKÜLTESİ  
GÖĞÜS VE KALP - DAMAR CERRAHİSİ ANABİLİM DALI

DENEYSEL OLARAK TRAKEA ANASTOMOZLARINDA  
DEĞİŞİK SÜTÜR MATERİYALLERİNİN  
HİSTOPATOLOJİK ETKİLERİ

TEZ YÖNETİCİSİ  
Doç. Dr. Levent ELSEYLİ

86899)

Dr. Maruf ŞANLI  
UZMANLIK TEZİ

GAZİANTEP - 1999

T.C. YÜKSEKÖĞRETİM KURULU  
DOKÜMANTASYON MERKEZİ

Eğitimim süresince yakın ilgi ve desteğini gördüğüm değerli hocam Doç.Dr.Levent Elbeyli'ye, birlikte çalışmaktan mutluluk duyduğum Yrd.Doç.Dr.Bülent Tunçözgür ile Yrd.Doç.Dr.Haşim Üstünsoy'a, kader arkadaşım sevgili Dr.Hikmet Yıldız'a ve tüm mesai arkadaşımıza şükranları sunarım.

Tez çalışmam sırasında histopatolojik değerlendirmelerdeki yardımları için Sn..Uzm.Dr.Suna Erkiliç'a, bilgisayar konusundaki desteği için Sn.Yrd.Doç.Dr.Bülent Tunçözgür'e ve istatistik çalışmalarındaki desteği için Sn.Uzm.Dr.Binnur Erbağcı'ya teşekkür ederim.

## **İÇİNDEKİLER**

GİRİŞ VE AMAÇ	1
GENEL BİLGİLER	
A)TARIHÇE	3
B)TRAKEA ANATOMİSİ	5
C)CERRAHİ YÖNDEN TRAKEA ANATOMİSİNİN ÖZELLİKLERİ	11
D)TRAKEA HİSTOLOJİSİ	13
E)SÜTÜRLER	15
GEREÇ VE YÖNTEM	18
BULGULAR	25
TARTIŞMA	37
SONUÇ	44
ÖZET	45
SUMMARY	46
KAYNAKLAR	47

## TABLOLARIN LİSTESİ

<b>TABLO 1</b>	Sütür çeşitleri	16
<b>TABLO 2</b>	Histopatolojik parametrelerin nümerik değerleri	27
<b>TABLO 3</b>	Sütür materyallerine göre histopatolojik parametreler	32

## GRAFİKLERİN LİSTESİ

<b>GRAFİK 1</b>	Epitelizasyonun sütür tipleri arasındaki karşılaştırmalı dağılımı	33
<b>GRAFİK 2</b>	Granülasyonun sütür tipleri arasındaki karşılaştırmalı dağılımı	34
<b>GRAFİK 3</b>	Fibrozisin sütür tipleri arasındaki karşılaştırmalı dağılımı	34
<b>GRAFİK 4</b>	Ethibond sütür kullanıldığından saptanan epitelizasyon, granülasyon ve fibrozis parametrelerinin ortalama değerleri	35
<b>GRAFİK 5</b>	Vicryl sütür kullanıldığından saptanan epitelizasyon, granülasyon ve fibrozis parametrelerinin ortalama değerleri	35
<b>GRAFİK 6</b>	PDS sütür kullanıldığından saptanan epitelizasyon, granülasyon ve fibrozis parametrelerinin ortalama değerleri	36

## RESİMLERİN LİSTESİ

<b>RESİM 1</b>	Trakea	10
<b>RESİM 2</b>	Mukozasının yalancı çok katlı titrek tüylü prizmatik epitelinden ve altında fibröz lamina propria'dan yapılı olduğunu gösteren insan trakeasının kesiti x 62.5	14
<b>RESİM 3</b>	Hiperekstansiyondaki denek boynu	19
<b>RESİM 4</b>	Transvers kesi ile katların geçilişi	19
<b>RESİM 5</b>	Eksplor edilmiş, askiya alınmış trachea	20
<b>RESİM 6</b>	Posterior membranöz duvarı içine alan tama yakın tracheal kesi	20
<b>RESİM 7</b>	Tracheal anastomoz sutureleri	21
<b>RESİM 8</b>	Tamamlanmış tracheal bir anastomoz	22
<b>RESİM 9</b>	Cildin kapatılmış durumu	22
<b>RESİM 10</b>	Spesmen olarak çıkarılmış trakeaya intraluminal bakiş	23
<b>RESİM 11</b>	Ethibond suture kullanılan bir deneğin tracheal anastomoz sahasının longitudinal açılımdan sonra içten görünümü	25
<b>RESİM 12</b>	Vicryl suture kullanılan bir deneğin tracheal anastomoz sahasının longitudinal açılımdan sonra içten görünümü	26
<b>RESİM 13</b>	PDS suture kullanılan bir deneğin tracheal anastomoz sahasının longitudinal açılımdan sonra içten görünümü	26
<b>RESİM 14</b>	2 No.lu denekte histopatolojik görünüm. H.E x 40	28
<b>RESİM 15</b>	1 No.lu denekte histopatolojik görünüm. H.E x 100	29
<b>RESİM 16</b>	5 No.lu denekte histopatolojik görünüm. H.E x 40	29
<b>RESİM 17</b>	12 No.lu denekte histopatolojik görünüm. H.E x100	30
<b>RESİM 18</b>	9 No.lu denekte histopatolojik görünüm. H.E x 40	30
<b>RESİM 19</b>	8 No.lu denekte histopatolojik görünüm. H.E x 40	31
<b>RESİM 20</b>	15 No.lu denekte histopatolojik görünüm. H.E x 40	31
<b>RESİM 21</b>	17 No.lu denekte histopatolojik görünüm. H.E x 100	32

## **GİRİŞ VE AMAÇ**

Trachea hastalıkları ve cerrahisi bu organın anatomik yerleşimi, kartilaj oluşu, segmenter vasküler beslenmesi, entübasyonun özellik göstermesi, postoperatif zorlukları ve trachea hastalıklarının oranındaki azlık nedeniyle uzun süre geri kalmıştır. Trachea onarımları, travma, tümör rezeksiyonu, trachea stenozları, tracheal malazi, akkiz tracheoözofagial fistül ve son yıllarda pulmoner cerrahi prosedürlerin gelişmesi sonucu akciğer transplantasyonlarında önem kazanmaktadır ( 1 - 5 ).

Trachea stenozlarında veya primer ve sekonder tümör tedavisindeki cerrahi uygulama, çevresel rezeksiyona ve yapılabılır bir rekonstrüksiyona izin vermelidir. Trachea tamirinde fonksiyonel ve anatomik devamlılığı elde etmede primer uç uca anastomoz, cerrahi olarak en uygun prosedürdür ( 6 - 14 ).

Son yıllarda görülen büyük gelişmeye rağmen trachea cerrahisinde hala önemli problemler vardır ( 15 ). Anastomozun sütür hattındaki geriliği yüksekse ayrılma ve stenoz olacaktır. Sütür hattındaki gerilim düşük olsa bile trachea çevresinde, kartilajlar arasında mesafeyi artıtabilen ve stenoza yol açabilen fibröz doku reaksiyonu oluşabilir ( 15 ). Anastomozda postoperatif iyileşmede sütür tipi ve sayısının etkili olduğu düşünülmektedir ( 16 ). Tracheal dokunun yabancı cisim gösterdiği reaksiyona bağlı anastomoz yetmezliği, stenoz ve disfonksiyon önemli problemlerdir ( 15 ). Epitelizasyon yetersiz ise striktür gelişecektir. Epitelizasyon tam olsa dahi skar sonucu geç dönemde lumen daralması oluşabilecektir ( 15 ). Anastomozun biçimi ve seçilecek sütür materyali hakkında değişik görüşler vardır. Anastomoz sırasında non-absorbabl sütür kullanılması stenoz, granüلوم veya her ikisine birden yol açabilmektedir ( 4, 17 ). Son yıllarda absorbabl sentetik sütür

materyallerinin trachea anastomozlarında kullanımı ile granülasyon dokusunda azalma olduğu bildirilmektedir ( 1, 4, 18 ).

Çalışmada tek tek sütür teknigi ile trakeanın uç uca anastomozunda, üç değişik sütür materyalinin ( vicryl, polidioksanon, ethibond ) anastomoz hattındaki histopatolojik etkilerini karşılaştırmak amaçlanmıştır.

## **GENEL BİLGİLER**

### **A-TARİHÇE**

Trakea cerrahisinin ilk uygulaması olan trakeostominin ilk bilimsel kaydı M.Ö. 100 tarihinde Asclepidias tarafından yapılmıştır ( 2 ) . Trakeanın ilk deneysel anastomozu muhtemelen 1881 de Gluck ve Zeller tarafından tanımlanmıştır ( 2, 19 ) .

Çevresel rezeksiyonu takiben primer uç uca trakeal anastomoz ilk kez 1885'te Kuester tarafından yapıldı ( 12 ). Cooley ( 1895 ) köpeklerde trakeal rezeksiyon serisini tanımladı ( 19 ). Eiselberg 1896 da 9 ay önce rezeke edilmiş trakeaya sekonder uç uca anastomozu başarıyla uyguladı ( 12 ).

Devam eden trakeal rezeksiyonlar 1896 da Föderl, 1902 de Hacker tarafından rapor edildi ve birkaç yıl içinde geniş sayıda vakalara ulaşıldı ( 12 ). Nowakowski 1909 yılında insan kadavrasında yaptığı çalışmalarda rezeksiyon genişliğinin 5 cm.ye kadar olabileceğini bildirdi ( 2, 12 ).

Geniş trakeal defektleri örtmek için pek çok metod geliştirildi. König ( 1896 ) içinde tiroid kartilajın bulunduğu deri flebi kullanımını tanımladı. Bir cm'den fazla olmayan küçük trakeal defektleri örtmek için, insan ve köpeklerde serbest fasia grefitleri kullanıldı. Levit (1912) ve Tuffel'in ( 1940 ) bu konudaki çalışmaları trakea cerrahisine yeni bir boyut getirdi ( 19 ).

Daha sonra trakea ve bronşlarda köprü defektte rijit tüp kullanımını tanımlandı. Daniel 1948 de bu amaçla cam, çelik veya vitalyumdan yapılan tüpler kullandı fakat granülasyon dokusunun grefitleri kapladığını saptadı ( 19 ).

Clagett ve yardımcıları ( 1948 ) polithene tüp kullandılar ancak kollaps nedeniyle ölümler oldu. Sonraki çalışmalarında metalik ve plastik kaynaklı değişik yamalar deneysel amaçlı kullanılmıştır.

Ferguson ve Vangensteen, 1950 de insan trakeasında tüm uzunluğun 1/3 oranında rezeksiyon ve anastomozunu uygulamış ve homo - heterogreftlerin kullanımını gündeme getirmiştirlerdir. Bu tarihten sonra trachea cerrahisinin uygulanmasında ve araştırmalarında belirgin olarak artma gözlenmiştir. Anastomoz edilebilecek defektin uzunluğunun 6.5 cm.ye kadar çıkarılabilmesi Grillo'nun 1960-1965 yılları arasında çalıştığı mobilizasyon tekniğinin geliştirilmesiyle mümkün olmuştur.

Bugün trachea cerrahisinde Grillo'nun koyduğu cerrahi prensiplerin üzerine çıkmamamıştır. Rezeksiyon sınırları belirlenmiş ve limitine varılmıştır. Ancak limitlerin üzerinde rezeke edilen geniş segmentlerin yerine konulacak ideal protez materyali konusunda çalışmalar devam etmektedir ( 2 ).

## **B-TRAKEA ANATOMİSİ**

Trakea, erişkinde ortalama 10 - 12 cm. boyunda ve 15 - 23 mm eninde, yanlama çapı ön - arka çapından 1/4 oranında daha büyük, 1,20 kadar açılığı arkaya bakan U şeklinde kartilaj salgı horomuskelerin tüptür (Resim 1).

Birinci trachea kıkırdağı üstte krikotrakeal membran aracılığı ile krikoid kıkırdak alt kenarına tutunmuştur. Buradan cavum infraglotticus boşluğu, doğrudan trachea lumeni ile devam eder. Trachea lumeninin asla kapanmaması için duvarları hyalin kıkırdak halkalarından yapılmıştır.

Adult erkekte trakeanın iç çapı lateral olarak 2.3 cm. ve anteroposterior olarak 1.8 cm.dir. Ölçümler bireylere göre değişir ve kadınlarda daha küçüktür. Çocukta trakeanın anteroposterior çapı daha fazla iken, yaşla birlikte hızla değişerek eliptik forma dönüşür. Kronik obstrüktif akciğer hastalığında trachea ön - arka çapı fazladır ve bu durum "saber sheath" ( süvari kılıcı kılıfı ) olarak adlandırılır.

Trachea 6. Servikal ( C ) vertebra ile 4. Torakal ( Th ) vertebranın alt düzeyi arasında uzanır. Burada iki bronchus principalis'e ayrılır. İkiye ayrıldığı kısım ( bifurcatio trachea ) önde angulus sterni ( ludovici açısı ), arkada linea interspinalis ile belirlenir. Trachea esnekdir. Trakeanın üst bölümü basın durumuna, larinksin konuşma, yutkunma esnasındaki hareketlerine bağlı olarak yer değiştirir. Alt ucu ise sağlam bağ dokusu ve kaslar aracılığı ile komşu organlara bağlı olduğundan sabittir denilebilir. Yalnız derin inspirasyonda 6. Th. vertebra düzeyine kadar inebilir.

Trakeanın durumu yaşa göre değişir. Larinks gibi, trachea da küçük çocuklarda daha yukarıda bulunur ve gittikçe aşağıya iner. Çok yavaş olmakla beraber trakeanın inmesi büyüklerde de devam eder ve ihtiyarlarda trakeanın alt ucu altıncı hatta yedinci göğüs vertebrası yüksekliğine kadar iner.

Trakeanın tahminen yarısı boyunda ( pars cervicalis ), yarısı göğüs boşluğununda ( pars thoracalis ) bulunur. Kolumna vertebralis ve özofagusun önünde bulunan trachea, omurganın eğriliğine uyarak, aşağıya indikçe arkaya doğru gider ve gövdenin ön tarafından uzaklaşır. Yukarıda başlangıçta trachea deriden 1 - 1.5 cm uzaklıkta bulunduğu halde, incisura jugularis hizasında 5 cm kadar derindedir.

**Komşulukları:** Boyun parçası ( pars cervicalis ) ile toraks parçası ( pars thoracalis ) komşulukları aynı ayırdır.

Boyun parçası ( pars cervicalis )

Önde: Arcus venosus juguli

İsthmus thyroidea

Fascia pretrachealis

Vena ( V ) thyroidea inferior

Thymus kalıntıları

Arteria ( A ) thyroidea ima ( eğer varsa )

Arkada: Oesophagus ( tüm boyunca arka yüze yapışır )

Yanlarda: Glandula thyroidea lobları

Nervus ( N ) laryngeus recurrensler

A. carotis communisler

A. thyroidea inferiorlar

Toraks parçası ( pars thoracalis ): Üst - arka mediastinumda bulunur.

Önde: Manibrium sterni

Thymus

V. thyroidea inferior

V. brachiocephalica sinistra

Trunkus brachiocephalica

**Arcus aorta**

**A. carotis communis dextra**

**Arkada:** Oesophagus

**Sağda:** Sağ akciğer

**V. azygos**

**V. brachiocephalica dextra**

**V.cava superior**

**N. vagus**

**Solda:** Arcus aorta

**A. carotis communis sinistra**

**A. subclavia sinistra**

**N. laryngeus recurrens**

Trakea duvarları iki temel tabakadan yapılmıştır. Membrana elastica trachea denilen dış tabaka çok miktarda kalın elastiki lifler barındıran sağlam bağ dokusundan ve bağ dokusu içine sokulmuş, üstüste sıralanmış kıkırdak halkalardan yapılmıştır. İkinci tabakayı trakeanın iç yüzünü örten mukoza tabakası ( tunica mucosa trachea ) yapar. Trakeanın üzeri pretacheal fascia yani tiro - perikardial apenevrotik doku ile kaplıdır. Bu oluşum tiroid isthmusunun trakeaya yaptığı 1. kıkırdak halkadan başlayarak, trakeayı sarıp karinaya tutunur. Trakea ile pretrakeal fasia arasında gözeli gevşek bir doku mevcuttur.

**Kıkırdakları:** Hyalin kıkırdaktan yapılmış trakeal kıkırdaklar ( cartilagines tracheales ) atnalı biçimindedir. Kıkırdak halka bir dairenin ön 2/3 kısmını yapar. Arkası açıktır. Duvarın bu kısmı yalnız bağ dokusu ve kıkırdakların uçları arasında uzanan düz kaslardan yapılmıştır ( musculus trachealis ). Burada kıkırdak bulunmadığı için, trakeanın arka duvarına pars membranaceus trachea denir.

## C-CERRAHİ YÖNDEN TRAKEA ANATOMİSİNİN ÖZELLİKLERİ

Trachea anatomik yeri ve yapısı nedeniyle cerrahi manüplasyonlara ve rezeksiyonlara karşı kapalı bir organ niteliğindedir. Kısa ve düz bir organdır. Kardiovasküler organlara çok yakın bir komşuluğu vardır ve kanlanması zayıf bir organdır. Damarsal beslenmesinin segmenter ve terminal olması nedeniyle çevresel diseksiyonda fazla devaskülarize olmamasını sağlamak önemlidir.

Trachea boyun hareketlerine uyan bir organdır. Boyun fleksiyonu ve ekstansiyonu trachea cerrahisinde çok büyük önem taşır. Cerrah, tracheayı genellikle tiroidektomi pozisyonunda boyun uzatılmış haldeyken, yapıların yarısını servikal yarısını torasik olarak görür. Boyun öne eğildiğinde olduğunda krikoid kartilaj torasik inlet seviyesine düştüğünden trachea, mediastinal olmaya başlar. Bu, servikal kifoz yüzünden yaşıla birlikte kalıcı pozisyon olabilir. Servikal kifozu olan hastalarda boyunda tracheayı bulmak sorun olmaktadır.

Trakeanın gergin bir organ olması da onun anatomik özelliklerinden birisidir. Normal olarak trachea her zaman için uzunluğuna gerilmiş durumdadır. Bundan dolayı trachea kesildiği zaman uçlar birbirinden 1.5 - 2 cm kadar uzaklaşır. Rezeksiyonları zorlaştırılan bir neden de bu özelliktir. Bugüne kadar yapılan anatomik ve klinik gözlemler trachea'nın lateral duvarının çok iyi korunması gerektiğini göstermiştir. Operatif prosedür sırasında lateral dalların kesilmesi ile yapılan geniş çevresel diseksiyon, tracheayı kolaylıkla devaskülarize edebilir. At nahı şeklindeki kıkırdak yapının solunumda çok büyük etkisi olduğundan halkaların açıları bozulmamalıdır.

Trachea boyun parçasının ön komşulukları tracheotomi ameliyatı nedeniyle klinik açıdan son derece önemlidir. Tiroid bezinin altında yapılan bir tracheotomi için, aşağıdaki anatomik öğeler mutlaka akılda tutulmalıdır:

1. V. thyroidea inferiorlar trakeanın önünde bir pleksus yaparlar.
  2. A. thyroidea ima insanların %10'unda bulunur ve isthmus thyroideadan aşağıya doğru, trakeanın ön yüzüne dayalı olarak iner.
  3. V. brachiocephalica sinistra, arcus venosus juguli ve plevra özellikle çocukların, trakeanın önünde birbirlerine çok yakındırlar.
  4. Çocuklarda thymus bezi trakeanın ön yüzünü kaplar.
  5. Çocuklarda trachea daha küçük, daha hareketli, daha ince duvarlı ve yumuşaktır.
- Trakeanın gergin durabilmesi için mediastinumdaki komşu olduğu organlara sıkıca bağlı bulunması, diseksiyonunu zorlaştırmaktadır. Dikkatli ve başarılı cerrahi girişimlerden hastaların yararlanamaması, anatomik yapısının trachea fonksiyonu üzerindeki baskısıdır denilebilir. Trachea cerrahisinde en büyük sorun, organın anatomik yapısını bozmamak, dolayısıyla normal fizyolojisinin devamını sağlamaktır. ( 2, 20 - 24).

## D-TRAKEA HİSTOLOJİSİ

Histolojik olarak trakea çeperi;

- 1 - Müköz membran
- 2 - Lamina propria
- 3 - Submukoza
- 4 - Tunica kartilageo - fibrozadan yapılmıştır ( Resim 2 ).

**1 - Müköz membran:** Epitel ve basal membran'dan yapılmıştır. Trachea epitel pseudostratifiye kolumnar silli epitel hücrelerinden, goblet hücrelerinden ve firça hücrelerinden meydana gelir. Epitelin altındaki basal membran bu hücreleri yapar. Epitel hücreleri sigara dumanı ve benzerleri gibi etkenlerle harabiyete uğrarlar. Böyle durumlarda basal hücreler süratle prolifer olurlar. Her kolumnar hücrenin yüzeyinde 250 - 300 kadar titrek tüy bulunur. Bu tüyler değişik hücrelerden orijin aldıkları halde hep beraber koordine bir şekilde ve dalgalar halinde hareket ederler ve üstlerini kaplayan müküs tabakasını larenkse doğru iterler. Visköz müküs, sillerin uçlarını kaplamaktadır. Siller bu visköz müküsün değil, bu tabakaların altındaki daha az kıvamlı bir sıvı tabakasının içinde hareket ederler.

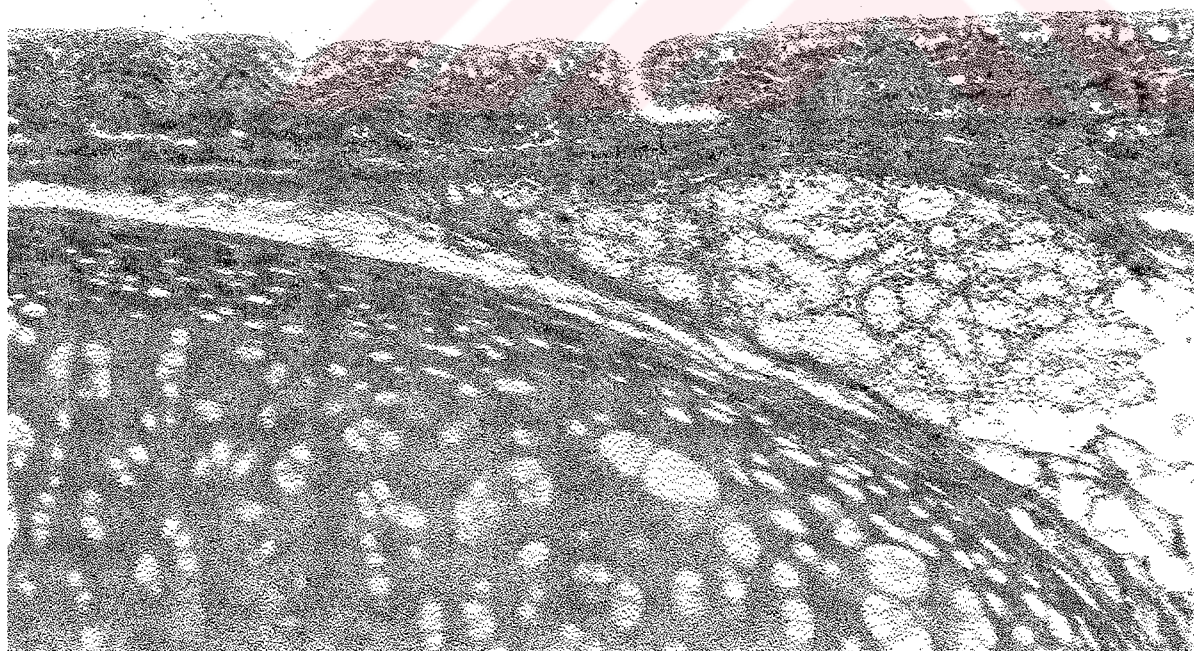
Trachea epitelinin sekresyon yapan hücreleri goblet hücreleridir. Kronik irritasyon hallerinde goblet hücrelerinin sayısı artar. Bu hücreler büyük bronşların bifurkasyonlarında daha fazladır.

Trachea epitelinde bulunan üçüncü çeşit hücreler firça ( brush ) hücreleridir. Bunlar uzun, serbest yüzeylerinde kısa sitoplazmik çıkıntılar bulunan hücrelerdir. Uzantıları aracılığıyla goblet hücrelerine bağlıdır. Firça hücreleri, titrek tüylerin içinde hareket ettiği viskositesi düşük sıvıyı salgılarlar.

**2 - Lamina propria:** Bazal membranın hemen altında, elastik bir tabakadır. Kollogen ve elastik liflerden, ince bir damar ve sinir örgüsünden meydana gelir. Müküs bezlerinin salgı kanalları lamina propria'yı delerek geçer. Bu tabakada çok sayıda lenfosit rastlanır.

**3 - Submukoza:** Kan damarları, sinüsler ve lenfositlerden başka muköz ve seröz bezler bulunur. Submukoza kartilajlı kısımlarda incelir ve bezler burada kıkırdakların arasında yerleşmiştir. Arkaya düşen müsküler kısmında ise submukoza kalındır ve glandlar kasların dışında lokalize olmuşlardır. Bez kanalları kas lifleri arasından geçerek trachea lümenine ulaşır.

**4 - Tunica fibroza:** Trachea duvarının en dış tabakasıdır. Kollagen ve elastik liflerden, kıkırdak ve kaslardan, muköz ve seröz bezlerden meydana gelmiştir. Elastik lifler kartilajların arka uçlarında her iki tarafta uzunlamasına bir band oluştururlar. Bu longitudinal lifler trakeanın uzayıp, kısalabilmesini sağlar ( 22, 23, 25, 26 ).



Resim 2 : Mukozasının yalancı çok katlı titrek tüylü prizmatik epitelinden ve altında fibröz lamina propriadan yapılı olduğunu gösteren insan trakeasının kesiti. x 62.5

## **E-SÜTÜRLER**

Bir dikişin emilebilen ( absorbabl ) veya emilmeyen ( non - absorbabl ) ve örgülü, kıvrık veya monofilaman bir yapısı olabilir. Sütür malzemelerinin yeni çeşitleri devamlı olarak geliştirilmektedir.

### **Sütür Çeşitleri:**

Absorbabl sütürler, vücut dokularında, değişen sayıda gün içinde, ya enzimler ya da doku sıvılarının hidroliz etkisi ile yok olurlar. Gerilme kuvvetinin kaybolması ve materyalin ortadan kalkma sürelerinin bilinmesi önemlidir.

Örgülü sütürler ( iplikler birarada örülülmüşür ) ve kıvrık sütürler ( ayrı iplikler birbirlerinin çevresinde kıvrılmışlardır ) çok esnekdir ve bu yüzden, bunları kullanmak ve düğülemek kolaydır. Düğümler, genellikle, tutar ve güvenlidir. Bu çeşit dikişlerin dezavantajı, iplikler arasına sıvı sızabilmesi ve mikroorganizmaların ipliklerin arasına girerek uzun süreli infeksiyonlara yol açmalarıdır. Birçok örgülü sütür malzemesi, bunu önlemek için su geçirmez hale getirilmiş veya kaplanmıştır.

Monofilaman sütürler, malzemenin sadece tek bir ipligidenden oluşur. Bunlar, daha az esnek ve daha çok kaygan olmaya eğilimlidirler. Bu yüzden, bunları kullanmak ve düğülemek daha zordur ve düğümlerin güvenli olması için daha çok düğüm atılması gereklidir ( 27 ).

Sütür çeşitlerinin bazıları tablo 1 de verilmiştir.

**Tablo 1: Sütür çeşitleri**

	<b>Sentetik</b>		<b>Doğal</b>	
	<b>Monofilaman</b>	<b>Multifilaman</b>	<b>Monofilaman</b>	<b>Multifilaman</b>
<b>Absorbabl</b>	PDS	Coated Vicryl Vicryl rapide Polyglycolic acid	Kromik Katgüt Plain Katgüt Kollagen Sütürler	
<b>Non-Absorbabl</b>	Prolen Ethilon Mersilen Polybutester Çelik	Ethibond Mersilen Dacron Nurolon Çelik		İpek Pamuk Keten

### **Araştırmada Kullanılan Sütür Malzemeleri Hakkında Bilgiler**

**Poliglaktin 910 ( Vicryl ):** Laktid ve glikolidin 90/10 oranında hazırllanmış polimerinden oluşan, kapalı formülü ( C<sub>2</sub> H<sub>2</sub> O<sub>2</sub> )<sub>m</sub> ( C<sub>3</sub> H<sub>4</sub> O<sub>2</sub> )<sub>n</sub> olan, sentetik, absorbabl bir sütürdür. Örgülü ve non-antijeniktir. Minimal doku reaksiyonununa neden olur. Coated vicryl ve vicryl rapide tipleri vardır.

Coated vicryl saçögü üzerindeki poliglaktin maddesinin, 65/35 oranlı laktid ve glikolid kopolimerlerinin aynı miktarda kalsiyum stearat eklenderek oluşturulan karışımla kaplanması sonucu elde edilir. Bu koruyucu kaplama biyolojik özelliklerini değiştirmez ve violet katkısı ile renklendirilebilir. Menekşe rengi veya boyasız olabilir. İyi düğümlenme özelliklerine sahiptir. Absorbabl dikiş materyalleri gerilim direncini koruma süresi, vücutta erime ve tam kaybolma süreleri ile nitelenir. Vicryl'in, dikiş sonrası ikinci haftada başlangıç gerilim direncinin %55 ini, üçüncü haftada ise %20 sini koruduğu belirlenmiştir. Sütürler, yavaş hidroliz ile 60 - 90 günde emilir.

Vicryl rapide hazırlanırken, gama radyasyonla coated vicryl yapısının moleküller ağırlığı azalır ve hidrolizle çözünmeye daha uygun hale gelir. Böylece daha çabuk absorbe

edilme özelliği kazanmış olur. Boyasız hazırlanırlar. Dikişten 5 gün sonra germe gücünün %50 sini kaybeder. Absorbsiyon 42 günde tamamlanır. Hızlı iyileşmesi beklenen mukoza ve deride sıkılık kullanılır ( 27 - 31 )

**Polidioksanon ( PDS ):** Sentetik, monofilaman, absorbabl bir sütür malzemesidir. Non-allerjiktir. Hidrolizle minimal doku reaksiyonuyla absorbe olur. Dokuda 14 günde germe gücünün %70 ini, 28 günde %50 sini, 56 günde %14 ünү korur. Absorbsiyon 90 günde başlar ve 180 günde tamamlanır. PDS mavi, PDS-II menekşe rengi veya boyasız olabilir ( 27, 32, 33 )

**Polyester ( Ethibond ):** Cerrahi bir lubrikant olan, polibutilat kaplı, örgülü bir polyesterdir. Dokuların içinde çok pürüzsüzce hareket eder ve güvenli bir biçimde düğümlenir. Uzun süre sağlanan iyi bir gerilme kuvveti ile çok inerttir ( 27 ).

## **GEREÇ VE YÖNTEM**

Çalışma 21 melez tipi köpek üzerinde yapıldı. Köpeklerin yaşıları 3 ay ile 8 ay (ortalama yaş 4 ay) arasında idi. Ağırlıkları 5 ile 13 kg. ( ortalama ağırlık 7 kg. ) arasında değişiyordu. Deney için temin edilen köpekler aşılamayı takiben 1 hafta sonra opere edildi. Deney, 3 ayrı sütür materyalinin kullanıldığı yedişerli 3 grup halinde yapıldı. Denekler 26 ile 76 gün ( ortalama 44 gün ) arasında i.v. yüksek doz thiopental sodium ( pentotal ) ile feda edilip, anastomoz hatları histopatolojik inceleme için çıkarıldı.

**Anestezi yöntemi :** Bütün deneylerde ketamin hidrokloridin ( ketalar ) 20 mg/kg ve xylazin HCL ( rompun ) 5 mg/kg i.m. ile anestezi sağlandı. Anestezi spontan solunuma izin verdi. Ortalama ameliyat süresi 32 dk idi. Tüm deneklerde preoperatif 1 kez, postoperatif 2 gün süre ile toplam 3 doz sefotaksim 1 gr i.m uygulandı.

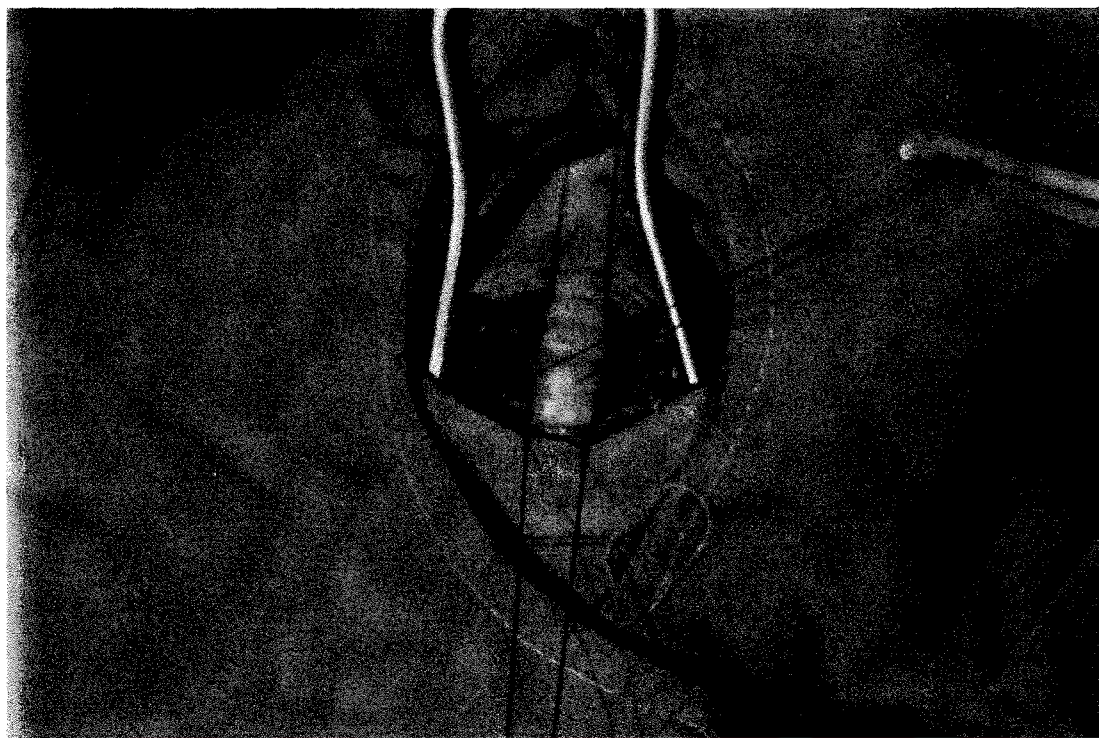
**Ameliyat tekniği :** Denek uyutulduktan sonra supine pozisyonda baş hiperekstansiyona getirildi. Lokal saha temizliği ve traş uygulandı ( Resim 3 ). Sternal çentigin 2 cm. üzerinden transvers olarak yaklaşık 6 - 7 cm.lik cilt insizyonu ile cilt, cilt altı ve platisma geçildi ( Resim 4 ). Strep adeleler ekarte edilerek trachea eksplorasyonu edildi, askiya alındı ( Resim 5 ). 8. ve 9. kıkırdak halkaların arasından bistüri ile posterior membranöz duvarı da içine alacak şekilde tama yakın kesi yapıldı. ( Resim 6 ). Rezeksiyona gidilmedi. Özofagus ve komşu yapıların kontrolünden sonra anastomoza başlandı.



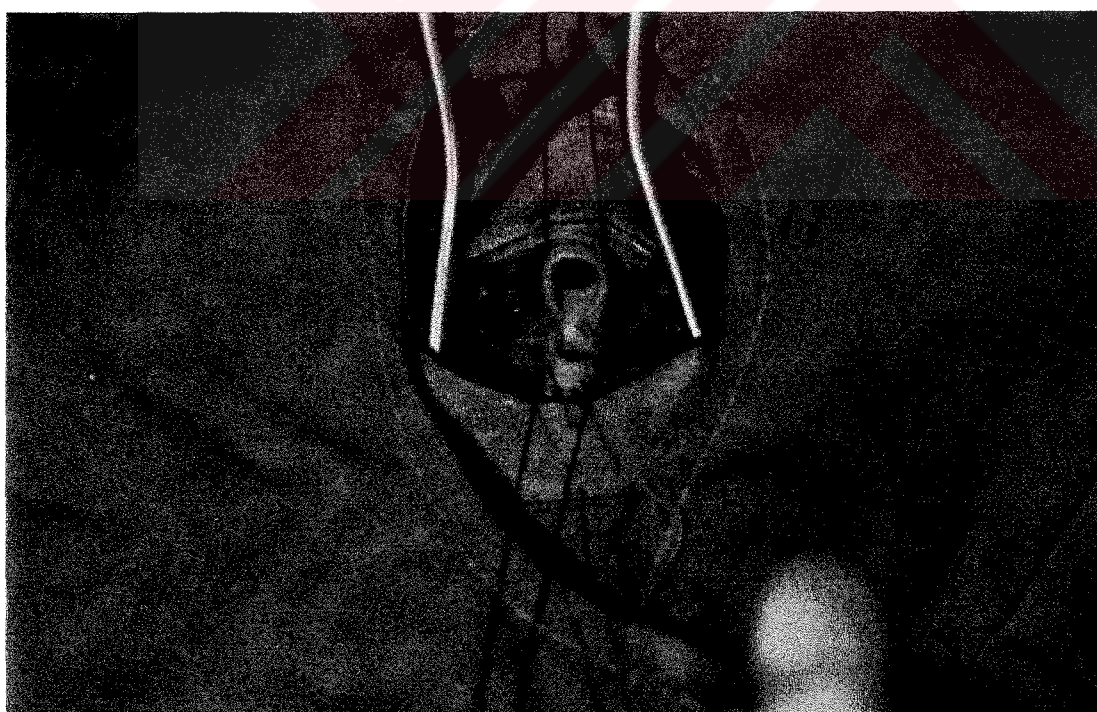
Resim 3: Hiperekstansiyondaki denek boynu



Resim 4 : Transvers kesi ile katların geçilişi

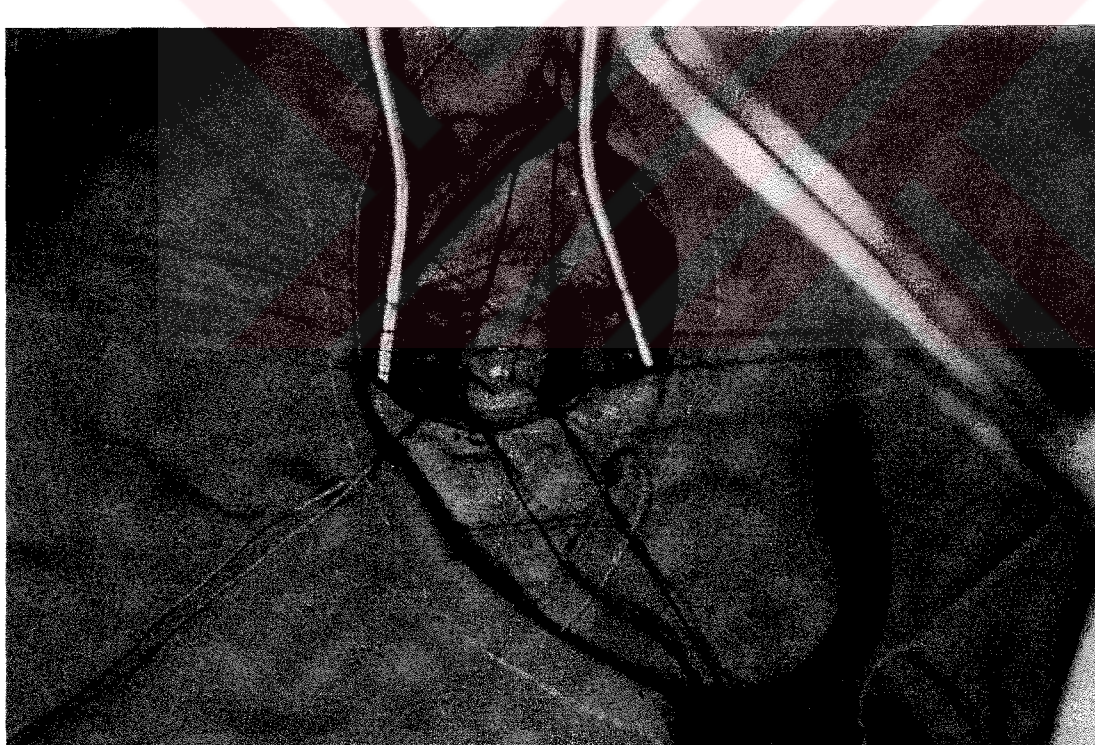


Resim 5 : Eksplor edilmiş, askiya alınmış trakea

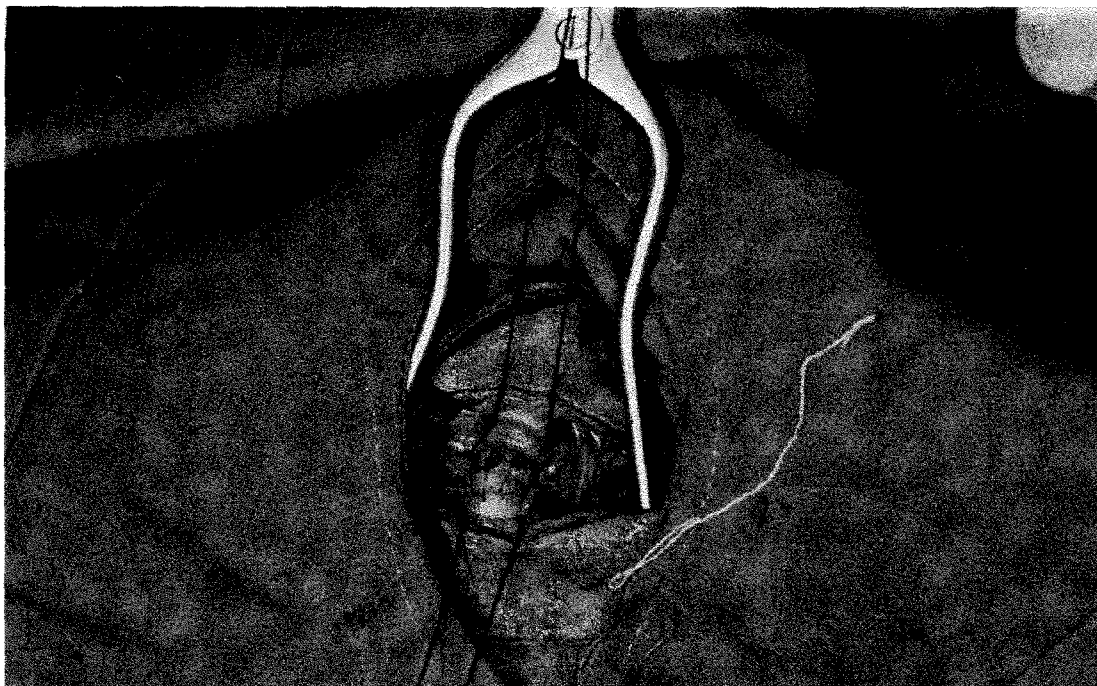


Resim 6 : Posterior membranöz duvarı içine alan tama yakın trakeal kesi

Yedişerli olarak üç gruba ayrılan deneklerde anastomoz için sütür materyali olarak 3/0 ethibond, 3/0 vicryl ve 3/0 PDS kullanıldı. Anastomozlarda 5 ile 8 arasında (ortalama 6) sütür konuldu ( Resim 7 ). Sütürlerin ikisi trachea arka duvarına membranöz bölümün her iki ucuna konuldu ve dışında düğümlendi. Diğer sütürler tracheanın boyutuna göre laterale ve ön orta hatta konulmak üzere anastomoz tamamlandı. Sütürlerin anastomozun bir üstü ve bir altındaki interkartilajinöz membrandan geçmesine dikkat edildi. Anastomoz sırasında mukozanın korunmasına ve her iki ucun karşılıklı gelmesine özen gösterildi. Tüm sütürler dışında düğümlendi (Resim 8 ). Anastomoz tamamlandiktan sonra anatominik yapılar absorbabl materyalle usulünce kapatıldı (Resim 9 ).



Resim 7 : Tracheal anastomoz sütürleri

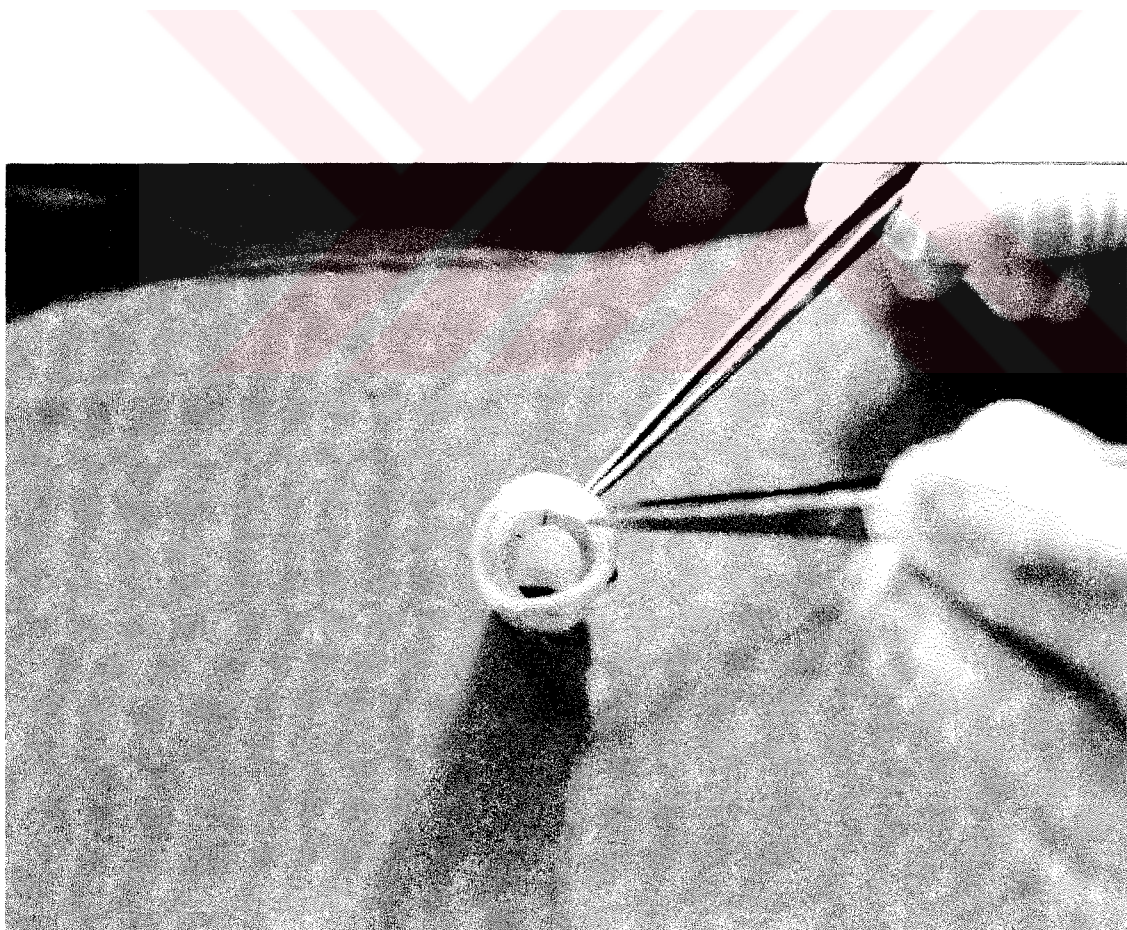


Resim 8 : Tamamlanmış trakeal bir anastomoz



Resim 9 : Cildin kapatılmış durumu

**Histopatolojik değerlendirme :** Denekler Friedman ve arkadaşlarında yapılan çalışmadaki histolojik değerlendirme süreleri esas alınarak ( 17 ) 26 ile 76 gün içinde feda edildi ve otopsi yapıldı. Bronşial anastomoz bölgesini içine alan trachea segmenti çıkarılıp ( Resim 10 ), % 95 lik alkol içinde patolojik değerlendirme için gönderildi. Präparatlar hematoksilen eozinle boyanıp ışık mikroskobisi altında değerlendirildi. Anastomoz hattında iyileşmedeki farklılığı araştırmak amacıyla epitelizasyon, granülasyon ve fibrozis dokusu değerlendirmeye alındı. Skorlama ; gözlenmedi ( - ), kısmi gözlendi ( + ), orta derecede ( ++ ), belirgin ( +++ ) şeklinde yazıldı.

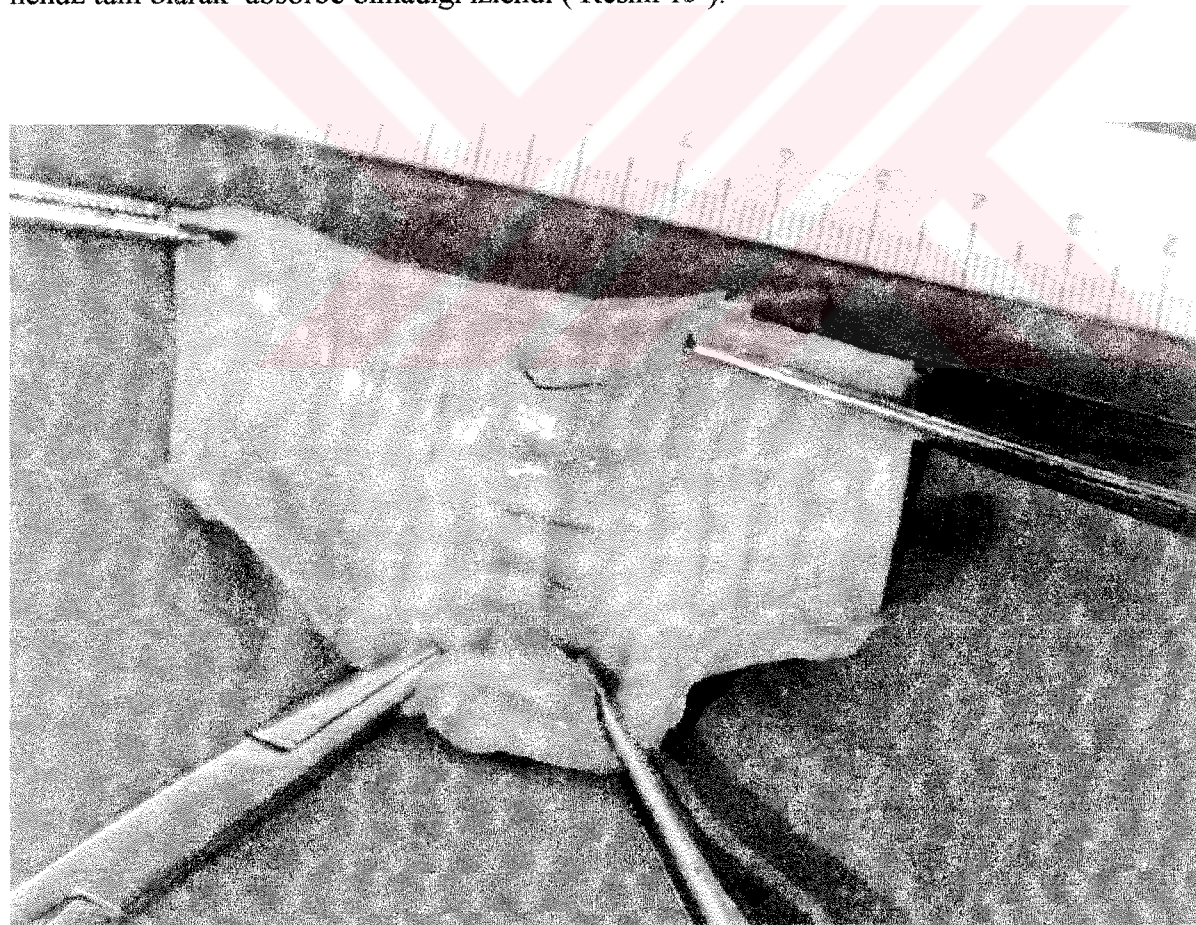


Resim 10 : Spesmen olarak çıkarılmış trakeaya intraluminal bakış

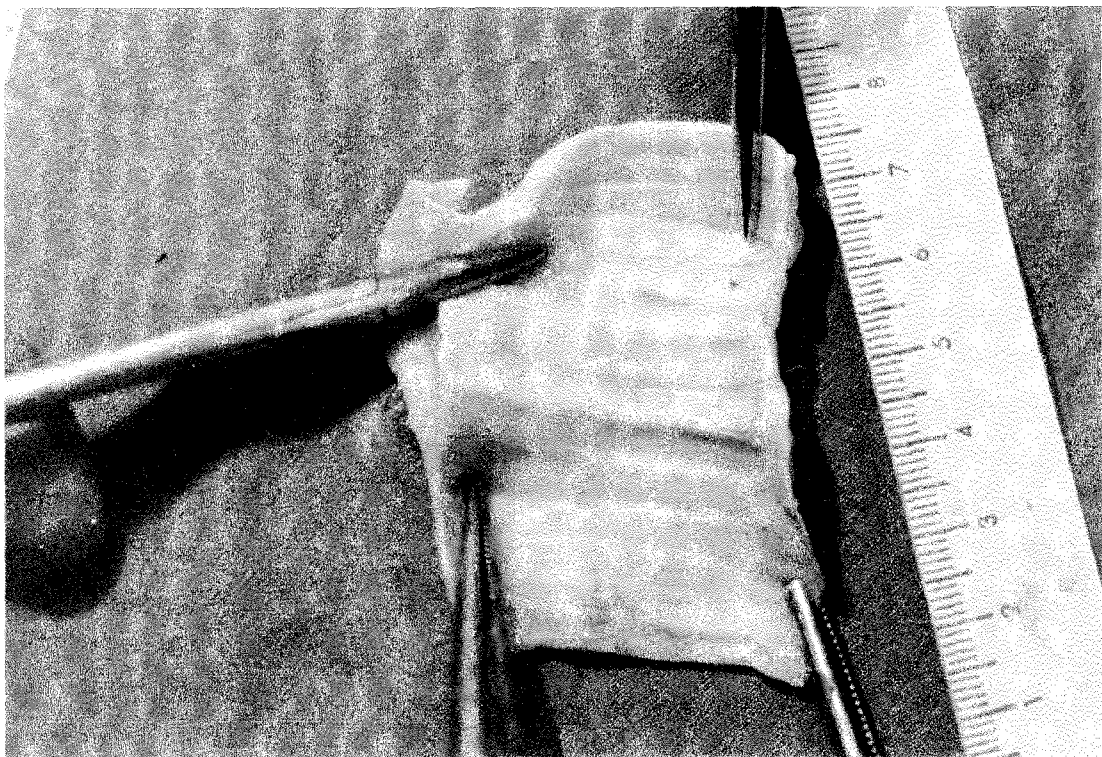
**İstatistiksel değerlendirme :** Değerler istatistiki değerlendirme için birden dörde kadar nümerik hale getirildi. Her bir histopatolojik parametre için istatistiki değerlendirme Kruskal - Wallis testi ile yapıldı. Anlamlı farklılık saptanan ( $p < 0.05$ ) parametre için gruplar arası önemlilik Mann - Whitney U testi kullanılarak değerlendirildi. ( SPSS for windows 6.0 ).

## BULGULAR

**Makroskopik bulgular :** Çalışma sırasında hiçbir köpekte komplikasyon olmadı. Hiçbir trakeal anastomozda kaçak oluşmadı. Tüm olgularda anastomozun makroskopik görünümü normal iyileşme sınırlarındaydı. Non-absorbabl ( ethibond ) sütür materyali kullanılanlarda 6. haftada makroskopik olarak sütür materyalleri net olarak izlenirken ( Resim 11 ), absorbabl ( vicryl ) materyal kullanılanlarda sütürlerin absorbe olmaya başladığı görüldü ( Resim 12 ). PDS sütür kullanılan grupta 4. haftada sütür materyallerinin henüz tam olarak absorbe olmadığı izlendi ( Resim 13 ).



Resim 11 : Ethibond sütür kullanılan bir denegin trakeal anastomoz sahasının longitudinal açılımdan sonra içten görünümü



Resim 12 : Vicryl sütür kullanılan bir deneğin trakeal anastomoz sahasının longitudinal açılımdan sonra içten görünümü



Resim 13 : PDS sütür kullanılan bir deneğin trakeal anastomoz sahasının longitudinal açılımdan sonra içten görünümü

**Histopatolojik bulgular :** Histopatolojik incelemede saptanan değerler tablo 2 de verilmektedir.

Tablo 2: Histopatolojik parametrelerin nümerik değerleri

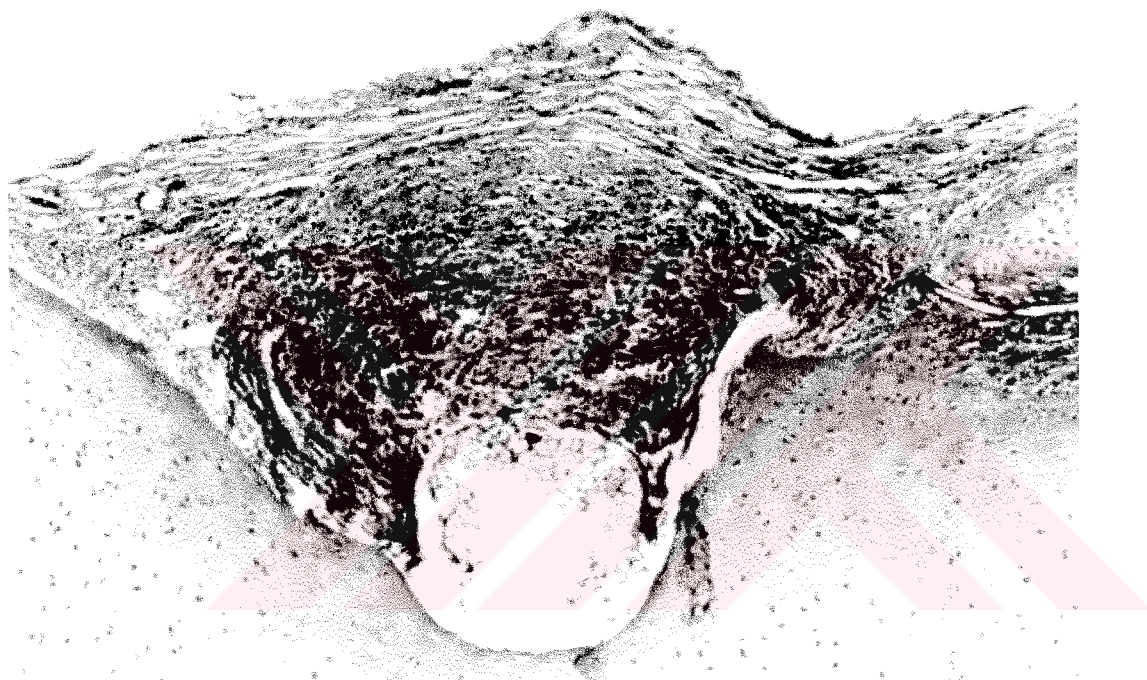
Denek No	Sütür Tipi	Epitelizasyon	Granülasyon	Fibrozis
1	Ethibond	2	1	1
2	“	1	4	3
3	“	3	1	3
4	“	1	1	1
5	“	2	4	3
6	“	2	3	3
7	“	1	4	3
8	Vicryl	4	1	1
9	“	4	3	4
10	“	3	1	3
11	“	3	3	4
12	“	4	1	1
13	“	3	1	3
14	“	4	4	3
15	PDS	3	4	3
16	“	2	3	1
17	“	3	1	3
18	“	3	1	3
19	“	3	4	2
20	“	4	1	3
21	“	3	4	3

Ethibond sütür ile anastomoz uygulanan denek grubunda sütür hattında epitel rejenerasyonunun yetersiz olduğu saptandı ( Resim 14,15 ). Bazı kesitlerde sütürün dışarı atılma eğilimi mevcuttu ( Resim 16 ). Materyallerin bir kısmında yoğun iltihabi granülasyon dokusu ile yer yer fibrozis saptandı ( Resim 14, 16 ).

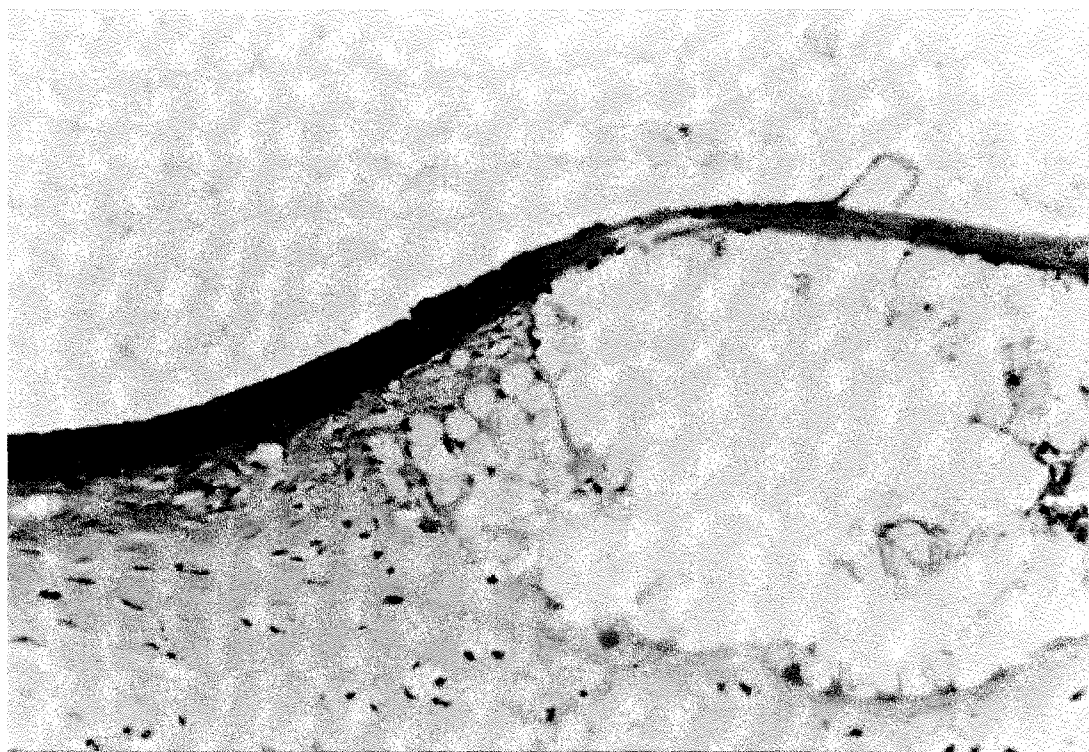
Vicryl sütür ile anastomoz uygulanmış grupta 6. haftada epitel rejenerasyonunun tam olduğu saptandı ( Resim 17 ) . 3.5 haftada sütürün tam olarak erimediği ( Resim 18 ), 6 haftada ise sütürün absorbbe olmaya başladığı gözlendi ( Resim 19 ). 3.5 haftada iltihabi

granülasyon doku yoğun olarak izlenirken ( Resim 18 ), 6. haftada bunun ortadan kalktığı görüldü ( Resim 19 ).

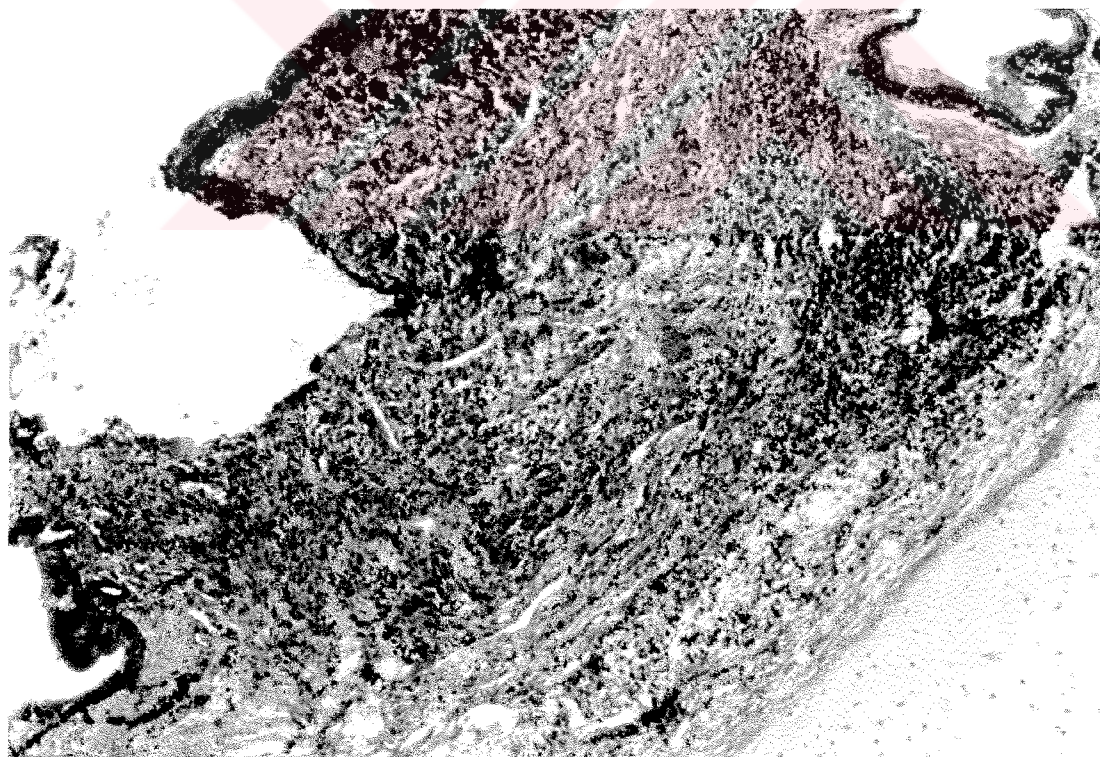
PDS sütür ile anastomoz uygulanan grupta 4. haftada sütürün henüz absorbe olmadığı ( Resim 20, 21 ) ve bazı materyallerde sütür çevresinde iltihabi granülasyon dokusunun varlığı gözlendi ( Resim 20 ). Epitel rejenerasyonu bu grupta orta derecedeydi (Resim 20, 21 ).



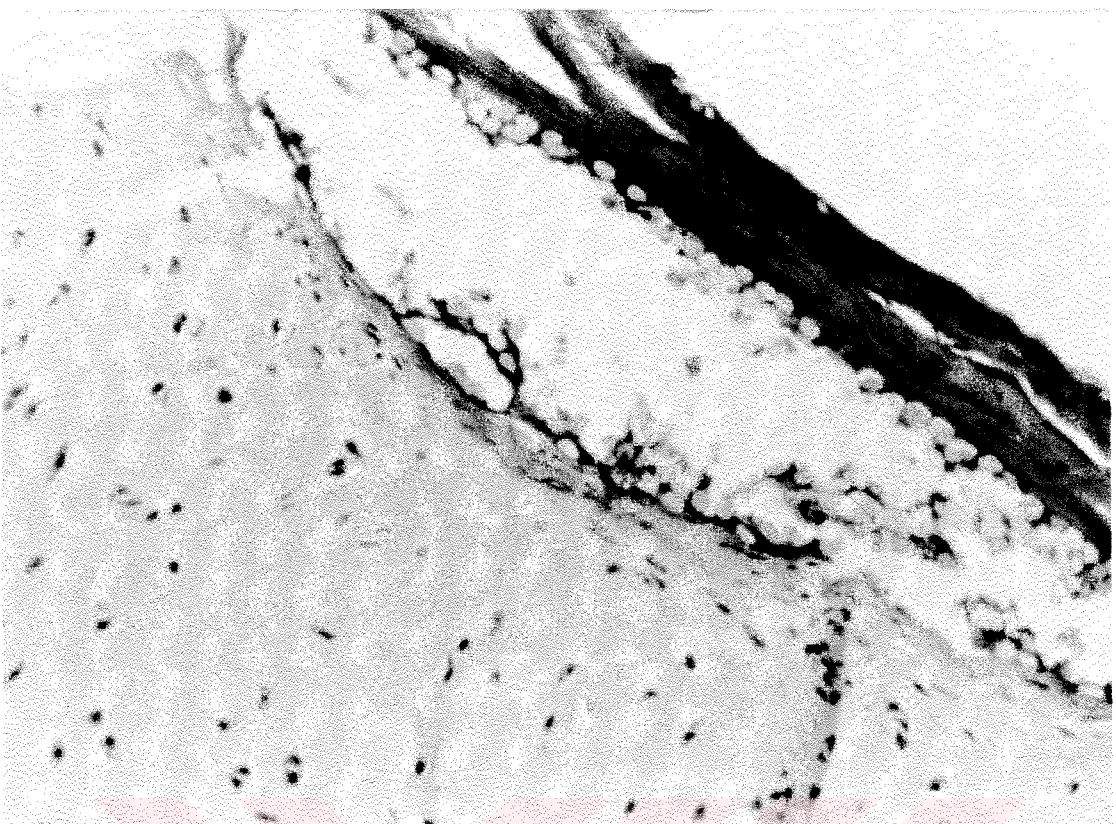
Resim 14 : 2 No.lu denekte histopatolojik görünüm. H.E x 40



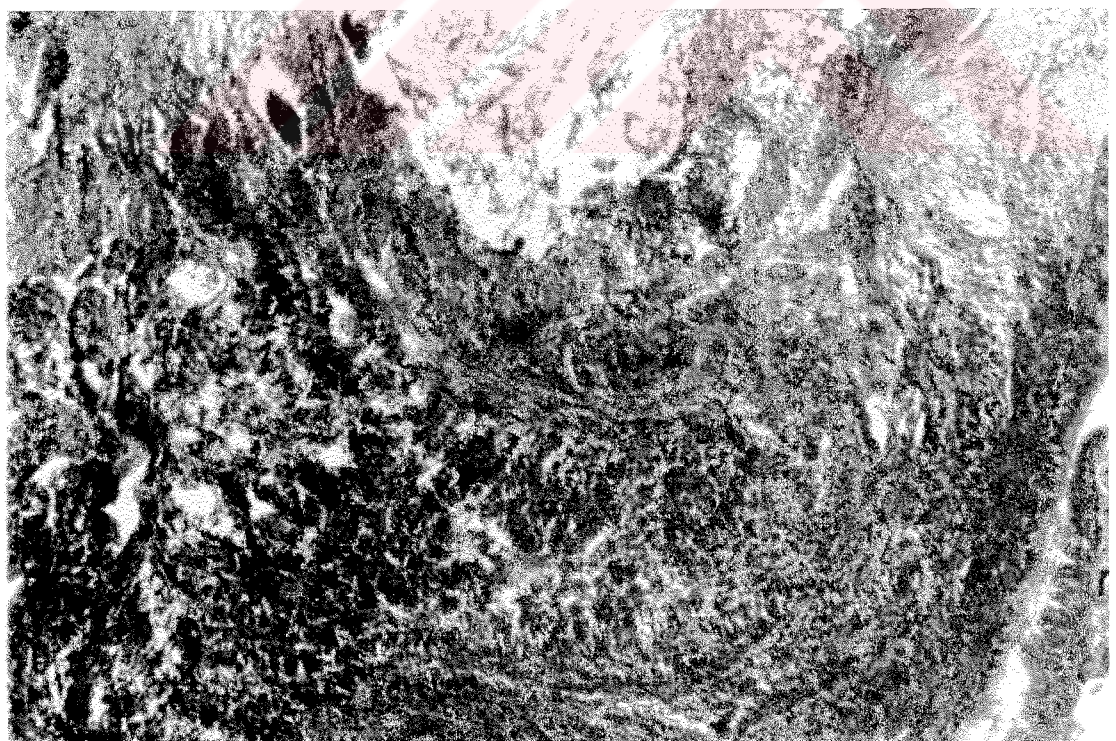
Resim 15 : 1 No.lu denekte histopatolojik görünüm. H.E x 100



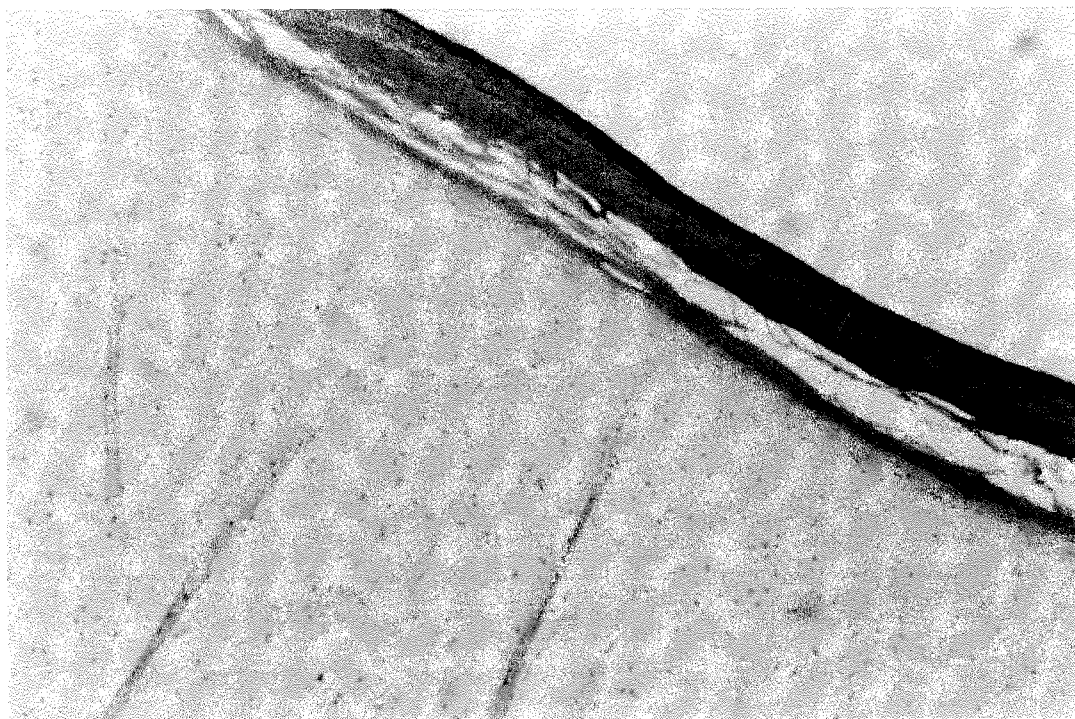
Resim 16 : 5 No.lu denekte histopatolojik görünüm. H.E x 40



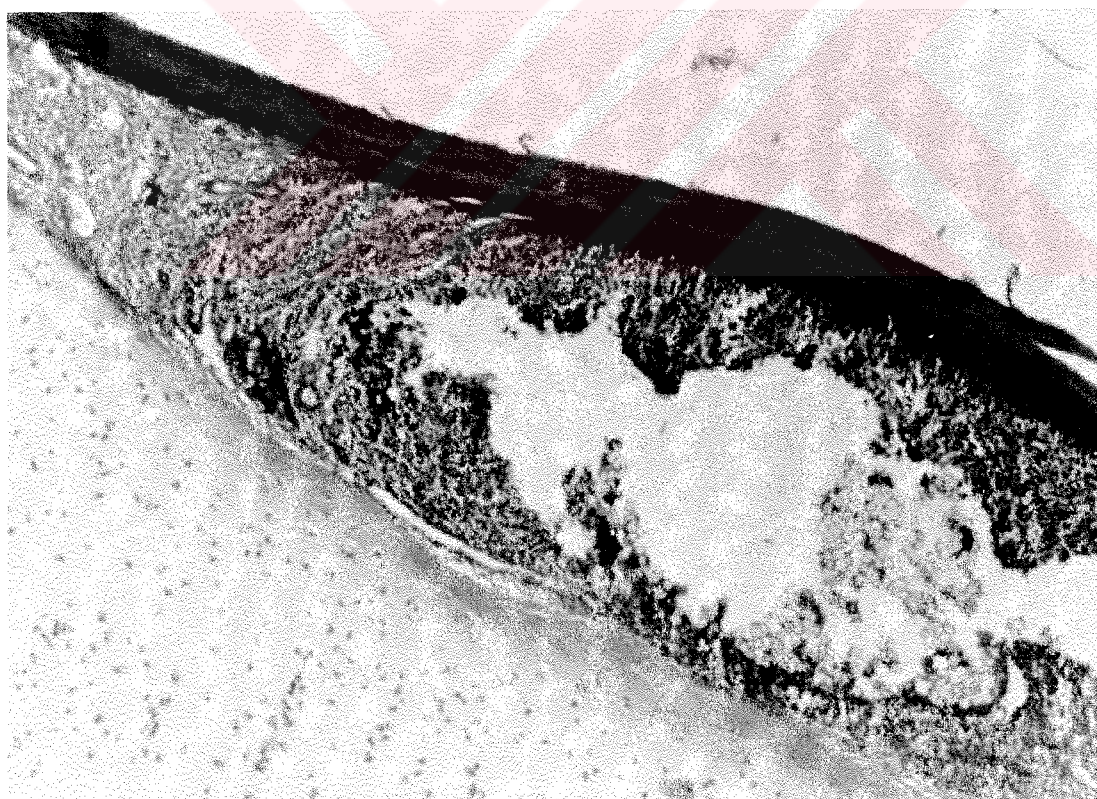
Resim 17 : 12 No.lu denekte histopatolojik görünüm. H.E x 100



Resim 18 : 9 No.lu denekte histopatolojik görünüm. H.E x 40



Resim 19 : 8 No.lu denekte histopatolojik görünüm. H.E x 40



Resim 20 : 15 No.lu denekte histopatolojik görünüm. H.E x 40



Resim 21 : 17 No.lu denekte histopatolojik görünüm. H.E x 100

**İstatistiksel bulgular :** Kullanılan sütür materyallerine göre epitelizasyon, granülasyon ve fibrozisin ortanca değerler ile alt ve üst sınırları tablo 3 te verilmiştir.

Tablo 3: Sütür materyallerine göre histopatolojik parametreler. Ortanca (enaz - ençok)

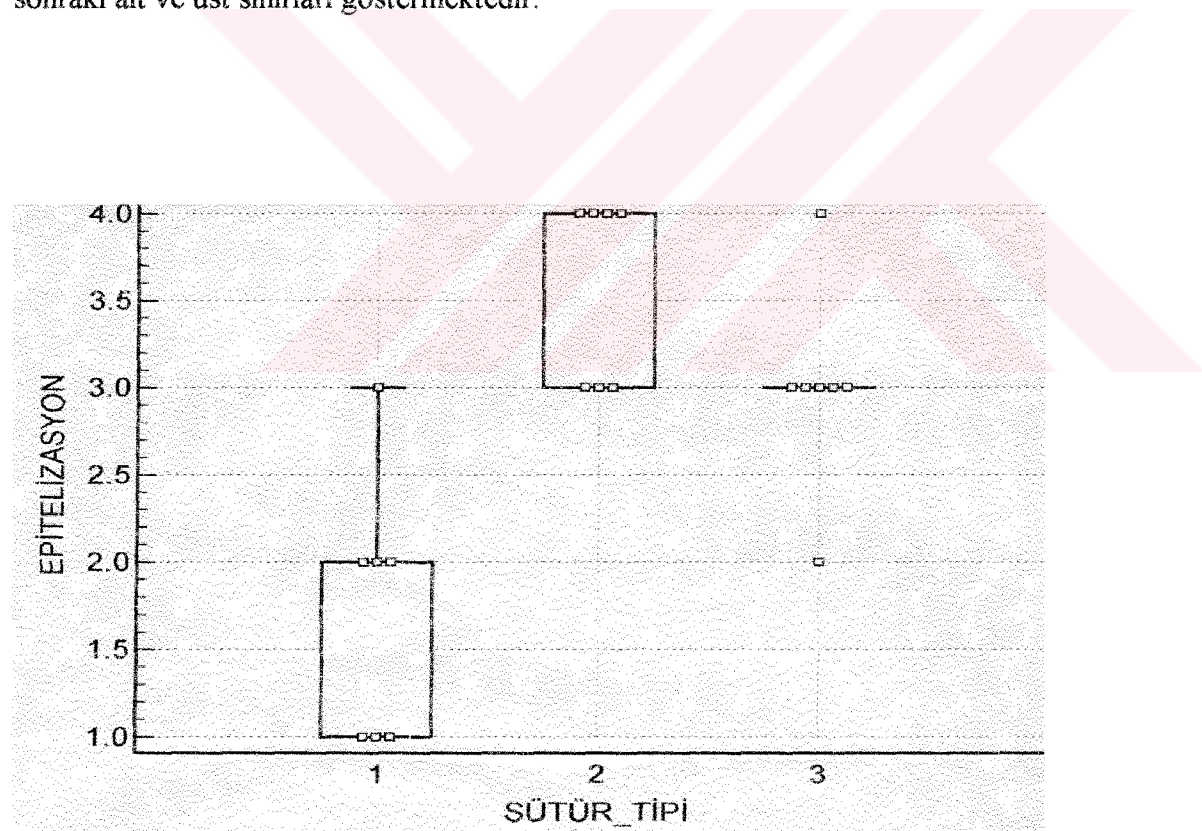
Sütür Tipi	Epitelizasyon	Granülasyon	Fibrozis
Ethibond	ort 2 ( 1 - 3 )	Ort 3 ( 1 - 4 )	ort 3 ( 1 - 3 )
Vicryl	ort 4 ( 3 - 4 )*	Ort 1 ( 1 - 4 )	ort 3 ( 1 - 4 )
PDS	ort 3 ( 2 - 4 )**	Ort 3 ( 1 - 4 )	ort 3 ( 1 - 3 )

\* p=0.0024 Ethibond'a göre \*\*p=0.0083 Ethibond'a göre

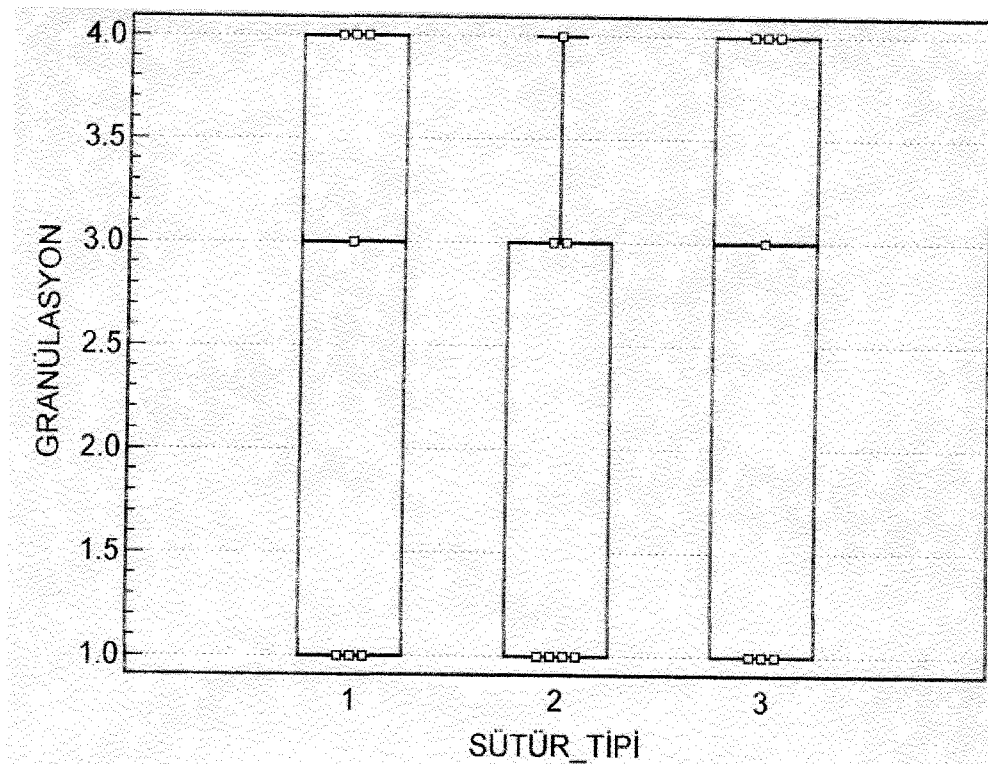
Kruskal - Wallis analizi ile üç sütür tipinde saptanan epitelizasyon, granülasyon ve fibrozisin farklılığı araştırıldı. Granülasyon ve fibrozis için sütürler arasında istatistikî anlamlı farklılık bulunmazken (  $p>0.05$  ), epitelizasyonun farklılık gösterdiği saptandı (  $p<0.05$  ).

Epitelizasyonun gruplar arası farklılığını saptamada Mann - Whitney U testi kullanıldı. Diğer parametreler için daha ileri analize gerek görülmeli. Epitelizasyon açısından absorbabl sütürler olan vicryl ( $p= 0.0024$ ) ve PDS ( $p= 0.0083$ ) sütür, ethibond sütürden üstün bulundu ( tablo 3 ). Vicryl ve PDS sütür arasında epitelizasyon açısından istatistikî anlamlılık yoktu ( $p= 0.08$  ).

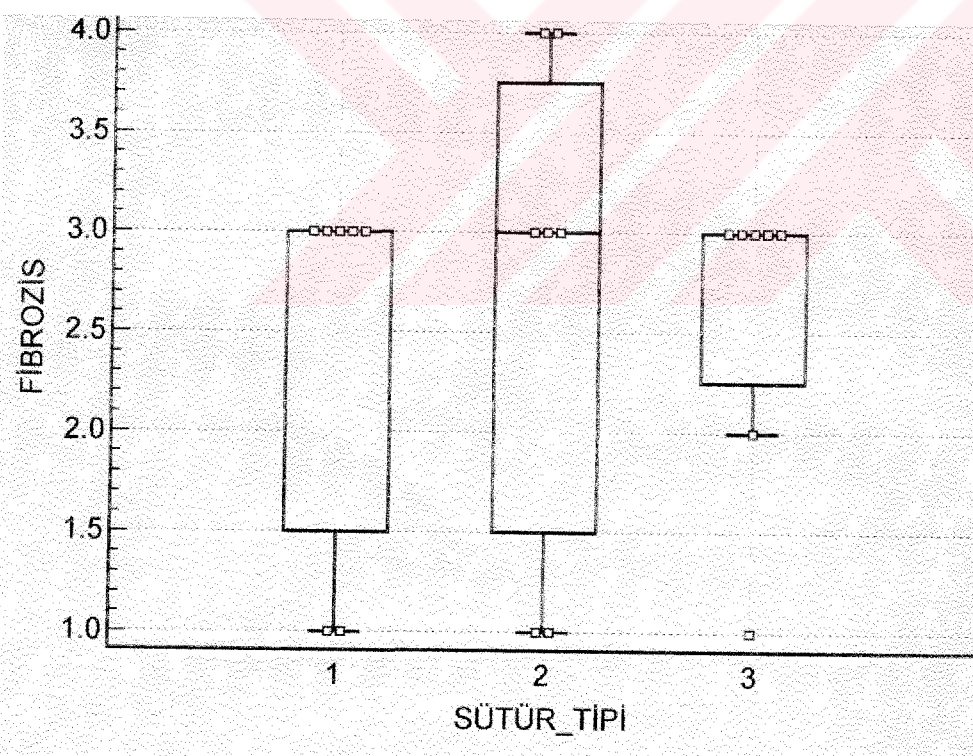
Ethibond sütür 1 ,vicryl sütür 2 , PDS sütür 3 olarak adlandırılacak üzere 3 farklı sütür tipi kullanıldığıda epitelizasyon için karşılaştırmalı dağılım grafik 1 de, granülasyon için grafik 2 de, fibrozis için grafik 3 te görülmektedir. Büyük kutular dağılımin 25 ve 75inci persentillerini, kutu içindeki çizgi, ortanca değeri ve uzantılar ise uç değerler atıldıktan sonrası alt ve üst sınırları göstermektedir.



Grafik 1: Epitelizasyonun sütür tipleri arasındaki karşılaştırmalı dağılımı

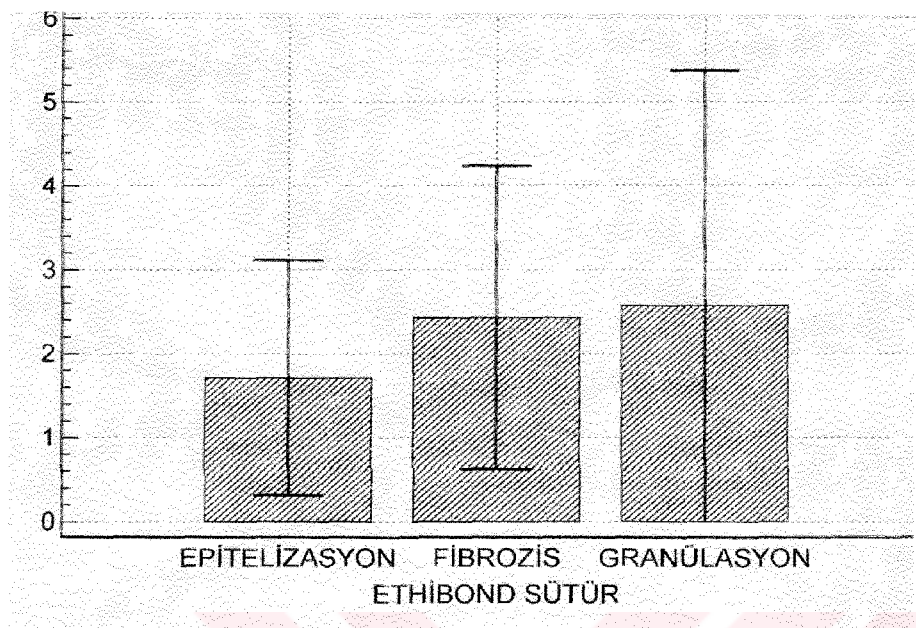


Grafik 2 : Granülasyonun sütür tipleri arasındaki karşılaştırmalı dağılımı

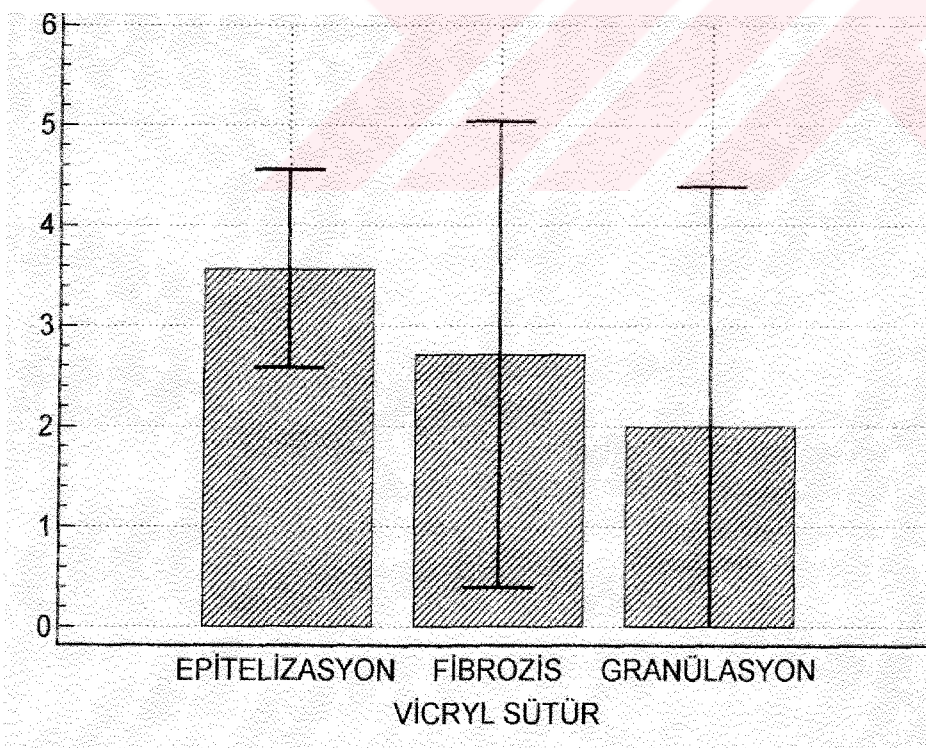


Grafik 3 : Fibrozisin sütür tipleri arasındaki karşılaştırmalı dağılımı

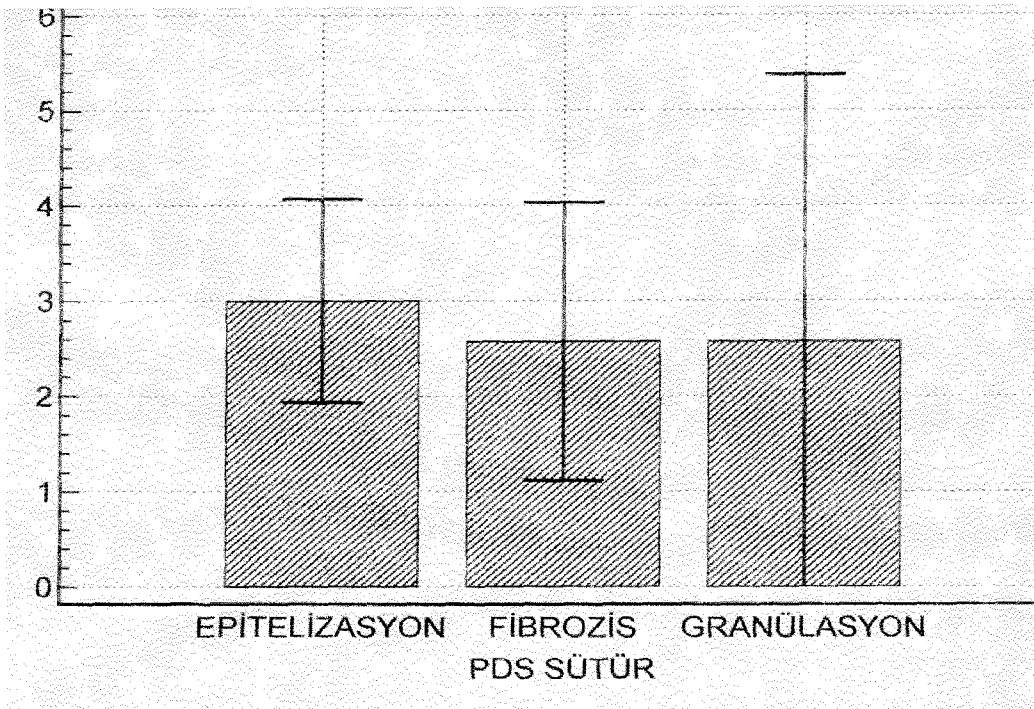
Sütür tiplerine göre saptanan epitelizasyon, granülasyon ve fibrozis parametrelerinin ortalama  $\pm$  2 standart sapma ( SD ) değerleri ethibond için grafik 4 te, vicryl için grafik 5 te, PDS için grafik 6 da verilmektedir.



Grafik 4 : Ethibond sütür kullanıldığında saptanan epitelizasyon, granülasyon ve fibrozis parametrelerinin ortalama  $\pm$  2 SD değerleri



Grafik 5: Vicryl sütür kullanıldığıda epitelizasyon, granülasyon ve fibrozis paremetrelerinin ortalama  $\pm$  2 SD değerleri.



Grafik 6 : PDS sütür kullanıldığında saptanan epitelizasyon, granülasyon ve fibrozis parametrelerinin ortalaması  $\pm 2$  SD değerleri

## TARTIŞMA

Trakeanın cerrahi tedavi gerektiren hastalıkları tümörler, stenozlar ve konjenital anomaliler olarak üç ana grupta incelenebilir. Trakeal rezeksiyon ve rekonstrüksiyon için en yaygın endikasyonun postentübasyon trakeal yaralanma olduğu bildirilmiştir (34,35).

Son yıllarda seçilmiş malign ve benign hastalıklarda pulmoner fonksiyonları korumaya yönelik olarak trakeobronkoplastik prosedürler toraks cerrahlarınınca sıkça uygulanmaya başlamıştır.

Köpek trakeası uzunluk olarak insaninkine ikizdir ve benzer çaptadır ( 19 ). Ayrıca trakea köpek, fare ve insanda gelişme sırasında kıkırdak kısmın konveks yüzeyinden uniform büyümeye gösterir ( 36 ). Çalışmamızda denek hayvanı olarak insan trakeasına benzerliği nedeniyle köpeği tercih ettim.

Belsey 1951 de trakeal rekonstrüksiyon için lateral rigidite, longitudinal elastisite ve fleksibilite, yeterli lumen ve silyalı kolumnar epitel hattının kesintiye uğramaması gerektiğini belirledi ( 37 ). Trakea rezeksiyonu 1960 li yıllara kadar 2 cm. ile sınırlanmıştır. 1960 ta kadavra üzerinde başlayan trakeal yaklaşım ve rezeksiyon limiti çalışmaları, 1968 yılında Mulliken ve Grillo'nun çalışmaları ile daha geniş boyuta ulaşmıştır ( 9, 23 ).

Grillo ve Michelson trakeanın yarısından çoğunu çıkarılabilğini ve direk sütürle rekonstrüksiyon yapılabildiğini gösterdi ( 8 ).

Bunun için geniş mobilizasyon gereklidir. Pulmoner ligamanın kesilmesi, sağ hilusun tamamen mobilizasyonu, pulmoner damarların intraperikardial diseksiyonu, sol ana bronşun kesilerek intermedier bronşa reimplantasyonu, suprahyoid laringeal serbestleme, servikal fleksiyon derecesinin artırılması rezeksiyon sınırlarını genişleten ek uygulamalıdır ( 3, 9, 10, 23, 38, 39, 40 ).

Kadavralarda yapılan çalışmada Grillo, Dignan ve Miura, trakeanın ortalama 6.4 cm. rezekte edilebileceğini ve primer end to end anastomozla onarılabileceğini gösterdiler ( 10 ).

Mobilizasyon sırasında önemli kurallardan biri lateral tracheal vaskülarizasyonun korunmasıdır. Geniş çevresel diseksiyon, kan desteğinin harabiyetine, stenoz ve ayrılmaya neden olabilir ( 3, 4, 7, 41 ). Çalışmamızda işlem sırasında aşırı diseksiyondan kaçındık. Önemli diğer bir nokta da anterior duvara uygulanan transvers wedge rezeksiyon sonrasında posterior duvarda oluşabilecek katlanmanın parsiyel obstrüksiyon yapabileceğiidir. Bu nedenle çevresel rezeksiyon daha sık öngörülür ( 42 ). Uzun segment rezeksiyonunu takiben trachea rekonstrüksiyonu hala büyük bir problemdir. Rekonstrüksiyon için kullanılan çeşitli materyal ve metodların tümü sınırlı başarı gösterir ( 37 ).

Tracheal rezeksiyon sonrası oluşan defektin replasmamı amacıyla kullanılan yöntemlerden yapay maddelerde yüksek anastomotik yetmezlik, migrasyon ve skar dokusu, homograftlerde immunosupresyon, otojenik materyalde ( özofagus, kolon, perikardium, fasia, cilt ) ise anatominik ve fonksiyonel defekt ve geç stenoz olasılığı vardır ( 3, 5, 10, 23, 43, 44 ). Bu nedenle trakeanın rezeksiyonu ve rekonstrüksiyonunda primer uç uca anastomoz uygulaması öngörmeli ve bunun için rezeksiyon sınırları zorlanmalıdır.

Anastomozun infeksiyon ve yetmezliği, kötü sütür teknigi, lokal infeksiyon, tracheal uçlarda devitalizasyon ve nekroz ile anastomoz üzerindeki aşırı gerilime bağlıdır ve stenoz nedenidir ( 45 ).

Maeda ve arkadaşları 37 yavru köpekte yaptıkları tracheal rezeksiyon ve gerilim altındaki anastomozların anastomotik saha incelemesinde, iç yüzeyin düz mukoz membran görünüşünü kaybettiğini, granülasyon dokusunun stenoza yol açtığını saptamışlardır ( 38 ).

Primer anastomoz sonrası tracheal stenozun iki ana nedeni vardır: Trofik nedenler ve cerrahi teknik yetersizliği ( 45, 46 ). Postoperatif stenozun önlenmesi amacıyla yapılan çalışmalarda rezeksiyonun sağlıklı dokudan yapılması, mukozanın karşılıklı gelmesi,

anastomozun fazla gerilim altında olmaması, absorbabl sütür materyali kullanılması, düğümlerin dışarda olması gereği belirtilmiştir ( 17, 28, 29, 32, 45 ). Çalışmamızda anastomoz sırasında mukozanın korunmasına, iki ucun karşılıklı gelmesine dikkat edildi ve sütürler dışında düğümlendi.

Maeda, daralmanın dikim sırasında kıkırdak halkaların içe kıvrılmasından ve membranöz bölgedeki nedbeleşmelerin genişlemeyi engellemesinden dolayı olduğunu bildirdi ( 47 ).

Cantrell ve Folse ( 1961 ), köpeklerde 1700 gramın altında gerilimin, anastomozda ayrılmaya neden olmayacak güvenliliğe izin verdigini buldular ( 42 ). Yeterince deneyimli kliniklerde yapılan trachea rezeksiyonlarından sonra bile % 5 - 30 stenoz, % 50 ye ulaşan granülom oluşumu ve yaklaşık % 10 oranında anastomotik yetmezlik bildirilmiştir ( 48 ). Olgularımızda fonksiyonel ve makroskobik olarak tümünde yeterli tracheal genişlik elde edilmiştir.

Hiçbir kontaminasyonun olmadığı, yeterli cerrahi teknikle gerçekleştirilen rezeksiyon ve rekonstrüksiyon uygulamalarında aşırı kollajen gelişimiyle anastomoz yetmezliği gelişebilir. Bunun nedenlerinden ilki, anastomozun yeterli vaskuler beslenmesinin sağlanamamasıdır. İkinci ve daha önemli ise sütür materyallerinin tracheal dokuda oluşturduğu devitalizasyon ve yabancı cisim reaksiyonudur. Trachea anastomozu sırasında kullanılan her sütür, kullanılan materyale ve cerrahi uygulamaya da bağlı belirli bir travma nedenidir. Bu cerrahi travma, kullanılan sütür materyaline karşı gelişen enflamatuar reaksiyonla şiddetlenecektir ( 41, 49 ). Rekonstrüksiyon sırasında kullanılacak sütür tipi tartışmalıdır. Bazı otörler non-absorbabl sütür kullanırken, bazıları absorbabl sütürleri tercih etmektedir. Gergin anastomozlarda birkaç hafta içinde rezorbe olan sütür materyalinin kullanımının sakıncaları bilinmektedir. Diastaz, rüptür olabilir ve gelişecek fibrozis nedeniyle stenoz gözlenebilir ( 11 ).

Nordin ve Ohlsen köpeklerde yaptıkları bir çalışmada non-absorbabl sütürlerin daha az granülasyon dokusu eğilimine sahip olduğunu, absorbabl sütürlerin birkaç hafta içinde absorbe olabileceğini ve eğer anastomoz gerilim altında ise ayılma ve stenoz değişikliklerine yol açtığını belirterek non-absorbabl sütür materyalini önermişlerdir. Ancak non-absorbabl sütür materyali kullanılacak ise subepitelial olarak geçilmesi önerilmektedir. Granülasyon dokusu skar dokusu biçiminde iyileşecektir, fibröz protrüzyonlara neden olacaktır ( 15 ).

Naruke ve arkadaşları akciğer kanserli 20 hastada uyguladıkları bronkoplastik prosedürlerde bronşial anastomoz için 3/0 veya 4/0 Ti-cron tek tek sütürler kullanmışlardır ve anastomoz bölgesinde granülasyon nedeniyle 4 olguda postoperatif stenoz saptamışlardır. Anastomoz bölgesindeki stenozun operatif teknikle, özellikle sütür teknigine bağlı olarak geliştiği ve sütürlerin mümkünse submukozal olarak yerleştirilmesinin tercih edilmesi ve bronşial anastomoz elastisitesinin korunması gerektiğini bildirdiler ( 50 ). Oluşan striktür çoğunlukla önemsizdir, ancak önemsiz görülebilecek bazı striktürler, gelişecek bir solunum enfeksiyonu ile ciddi sonuçlara yol açabilecektir ( 15, 28, 32 ).

Santoli konjenital trakeal aplazili bir çocukta parsiyel rezeksyonu takiben non-absorbabl sütür ile başarılı bir anastomoz yapmış, uzun süreli takipleri başarılı olmuştur ( 51 ).

Lynn ve arkadaşları, travmatik bronş rüptürü nedeniyle uç uca anastomoz uyguladıkları olguda 3/0 tevdek kullanarak, olumlu sonuç elde etmiş, striktür formasyonu görmemişlerdir ( 52 ).

Cantrell ve arkadaşları direk anastomoz ile traea defektlerinin onarımı konusunda yaptıkları köpekler üzerindeki çalışmada 4/0 çelik tel sütür kullandıkları denekleri 2 hafta ile 6 aylık sürelerde feda etmişlerdir. Operasyon sonrası kısa sürede feda edilenler haricindeki deneklerde mukozanın sağlam olduğu, sütürlerin intralüminal kısmının mukoza ile örtülü

olduğu saptanmıştır. Sütür hattı stenozu ihmal edilebilir bulunmuş ve fonksiyonel olarak anlamlı belirgin stenoz saptanmamıştır. Mikroskopik incelemede skar minimal ve sütür hattı normal silyalı solunum epiteliyle örtülü bulunmuştur ( 42 ).

Sezeur ve arkadaşları poliglikolik asid ve braided poliglaktinin ideal olmadığını, ancak nylon ve poliproplene göre biraz avantaj gösterdiğini belirtmiştir (53).

İnsanlarda ve deneysel çalışmalarında anastomoz darlıklarını ve sütür reaksiyonunu önlemek açısından sentetik absorbabl sütürlerin, non-absorbabl sütürlerle göre daha üstün olduğu belirtilmektedir ( 4, 17, 18, 28, 29, 32, 34 ).

Sheele ve ekibince tavşanlarda ve köpeklerde yapılan çalışmalarında dexon ve vicrylin mersilene göre daha az reaksiyona ve abse formasyonuna yol açtığı görülmüştür ( 54 ).

Hsieh ve arkadaşları, büyümekte olan köpeklerde bronşial anastomozlarda absorbabl olarak dexon veya vicryl, non-absorbabl olarak ise monofilaman nylon veya prolen sütür materyali kullandılar. İki ay sonra yaptıkları postmortem çalışmalarında non-absorbabl sütür materyali kullanılan iki köpekte sütür hattında kısmi stenoz, 4 köpekte ise orta veya ileri derecede stenoz gözlenmiştir. Histopatolojik değerlendirmede non-absorbabl grupta sütürlerin fibrotik doku ile çevrili olduğu görüldü. Absorbabl grupta sütür granülomu ve stenoza rastlanılmadı, sütür hattında reaksiyon görülmedi. Bu çalışma sırasında trakea anastomozlarından sonra lokal ödem ve bronş sekresyonu nedeni ile bronkoskopik aspirasyon uyguladıklarını ve 4 köpeği pnömoniden kaybettiklerini bildirdiler ( 28 ). Bizim olgularımızda benzer grupta büyuyen köpekler olup, hiçbirinde solunum problemi veya aspirasyon gerektiren durum olmadı.

Vural ve ekibi deneysel olarak köpeklerde trakea anastomozlarında tek tek absorbabl sütür materyalinin aynı teknikle uygulanan non-absorbabl sütür materyaline üstün olduğunu belirttiler ( 29 ).

Grillo, trakeal anastomoz bölgesindeki granülasyon dokusu oluşumunun, kullanılan sütür materyalinin tevdektan vicrile değişmesi ile %23.6 dan %1.6 ya düşüğünü bildirdi ( 34 ). Grillo ve arkadaşları primer trakeal rekonstrüksiyon uyguladıkları hastalarında non-absorbabl sütür kullanılanlarda granülasyon dokusu oluşumunu gözlediklerini, vicryl sütür kullanılan hiçbir hasta gözlemediklerini belirttiler ( 4 ).

Gibbons ve arkadaşları 14 yavru köpekte trakeal rezeksiyon sonrası vicryl ve ti-cron kullanarak anastomoz uyguladılar. Tümü sağlam anastomozla yaşayan köpekler, cerrahiden 2 ay sonra fedal edildiler. Vicryl sütür kullanılan deneklerin histopatolojik değerlendirmesinde rezidüel sütür veya reaksiyon gözlenmedi. Ti-cron sütür kullanılanlarda ise %37 oranında gross sütür granülomu gelişti ( 18 ). Denek grubumuzda fibrozis ve granülasyon dokusu açısından sütür materyalleri arasında istatistikî anlamlılık yoktu.

Toomes ve Linder'in 10 köpek trakeasında 4/0 vicryl kullanarak yaptığı trakeal rezeksiyon sonrası üç uca anastomozların bronkoskopik incelemesinde, 10 köpeğin birinde %60 trakeal stenoz ve diğer birinde sütür granülomu tespit edildi. Histopatolojik olarak incelemeye sütürler kesitlerde görülemedi. Mukoza üzerinde transportun hızlı restorasyonuna rağmen, mukoza tamamen rejenere olmadı. Epitel hiçbir köpekte silyalı değildi, yalnızca 1-2 tabaka sguamöz hücre vardı. Silyalı epitelin migrasyonu tüm histopatolojik kesitlerde anastomozda trachea kenarlarındaydı ( 11 ). Çalışmamızda absorbabl sütür materyali kullanılan deneklerin çoğunda özellikle de vicryl grupta epitelin tama yakın rejenere olduğu gözlandı. Bu durumu erken rezorbe olabilen vicrylin anastomozdaki epitelizasyonu daha kısa süre kesintiye uğratmasına bağlıyoruz.

McKeown büyümekte olan hayvanlar üzerinde yaptığı çalışmalarında PDS (polidioksanon) ile tek tek sütür yönteminin diğer yöntem ve sütür materyallerine üstün olduğunu belirtmiştir. Denek olarak kullanılan tavşanlar, trachea anastomozlarından ortalama 95 gün sonra öldürülmüştür. PDS kullanılanlarda enflamatuar reaksiyon kısmi olarak

gözlenip, sadece bir denekte orta derecede fibrozis saptanmıştır. Non-absorbabl olarak polipropilen kullanılında skar dokusuna rastlanılmamıştır. Her iki sütür materyali kullanılan grupta da abse formasyonu, enfeksiyon ve sütür hattı ayrılması olmuşmamıştır ( 32 ).

Friedman, koyunların trakeasında primer anastomozlarda PDS ve vicryl kullanmıştır. Histopatolojik değerlendirmeler 3. ve 6. haftada yapılmak üzere denekler feda edilmişlerdir. Vicryl kullanılan grupta 3. haftada histopatolojik olarak mononükleer infiltrasyon saptanmıştır. PDS uygulanan grupta ise minimal inflamasyon ile birlikte granülomatöz reaksiyon gözlenmiştir. 6. haftada vicrylde tamama yakın rezorbsiyon, ayrıca transmural ödem ve fibroblastik proliferasyon söz konusudur. PDS kullanılan grupta ise sütürde parsiyel fragmentasyon saptanmakta olup, minimal enflamasyon ve yabancı cisim granülomu gelişmiştir. Çalışmanın sonucunda vicryl sütürün, PDS den daha hızlı rezorbe olduğu, daha yoğun enflamatuar reaksiyon ve daha fazla geç fibrozise neden olduğu saptanmıştır ( 17 ). Çalışmamızda kullanılan denekler, kullanılan materyallere reaksiyoner histopatoloji değişikliklerinin en fazla görüleceği ve absorbsiyonun belirgin olduğu ( 17, 33 ) üç hafta ile on hafta arasında feda edildiler. Bulgularımız Friedman'in bulgularına kısmi uyum göstermiştir. Üçüncü haftada vicryl tam rezorbe olmaksızın yer yer kısmi enflamasyon gösterirken, altıncı haftada sütürün rezorbe olup, enflamasyonun gerilediği saptandı. PDS kullanılan deneklerde enflamasyon ve geç fibrozis açısından vicryl gruba göre anlamlı fark yoktu.

## **SONUÇ**

Çalışmamızın sonucunda saptanan histopatolojik değişikliklerin ve yayınların incelenmesinde aşağıdaki sonuçlar elde edilmiştir.

- 1 - Trachea tamirinde primer uç uca anastomoz cerrahi olarak ideal yöntemdir.
- 2 - Başarılı primer tracheal anastomozda uygun anatomik mobilizasyon ve iyi anastomotik teknik, güzel anatomik ve fonksiyonel sonuçlar sağlar.
- 3 - Sütür tekniği, sütür materyali seçimi, anastomozda gerilimden kaçınma iyi sonuç elde etmede önemlidir.
- 4 - Hangi tür dikiş materyali kullanırsa kullanılsın cerrahi teknik iyi uygulandığında iyi sonuçlar elde edilebilir.
- 5 - Gergin olmayan anastomozlarda, erken rezorbsiyon açısından vicrylin tercih edilmesi uygun olacaktır.

## ÖZET

Polyester ( ethibond ) ( n=7 ), polyglactin ( vicryl ) ( n=7 ) ve polydioxanone ( PDS ) ( n=7 ) sütür materyallerinin histopatolojik etkilerini karşılaştırmak üzere tracheal anastomozlar 21 melez köpek üzerinde uygulandı ( ortalama yaşı 4 ay, ortalama ağırlık 7 kg idi ).

Anastomozlarda tek tek sütür teknigi kullanıldı. Köpekler ameliyat sonrası 26 - 76 gün arasında ( ortalama 44 gün ) feda edildiler.

Otopsi çalışmalarında anlamlı darlık hiçbir olguda yoktu. Anastomoz yüzeyleri histopatolojik olarak epitelizasyon, granülasyon ve fibrozis açısından incelendi. Absorbabl sütürler olan vicryl ve PDS kullanılan gruplarla, non-absorbabl sütür olan ethibond kullanılan grup arasında epitelizasyon gelişimi açısından anlamlı fark saptandı ( p<0.05 ). Fibrozis ve granülasyon dokusu açısından gruplar arasında anlamlı fark bulunmadı ( p>0.05 ).

Bu sonuçlar, gergin olmayan trachea anastomozlarında absorbabl sütür materyallerinin ( vicryl gibi ) tercih edilebilir olduğunu göstermektedir.

## SUMMARY

Tracheal anastomoses was performed on 21 mongrel dogs ( mean age 4 months, mean weight 7 kg ) to compare histopathologic effects with synthetic nonabsorbable suture ethibond ( n=7 ) and absorbable sutures vicryl ( n=7 ) and PDS ( n=7 ).

The interrupted tecnique was used in anastomoses. Dogs were killed between 26 - 76 days ( mean 44 days ).

No stenosis was observed in all groups. The surface of anastomoses evaluated histopathologically about epithelium, granulation and fibrosis. There is a significant difference statistically between absorbable sutures ( vicryl, PDS ) and non-absorbable suture ( ethibond )in histopathologic evaluation of epithelium. ( p<0.05 ). There is not statistical difference of granulation and fibrosis between groups ( p>0.05 ).

These results suggested that absorbabl suture material ( such as vicryl ) is to be preferably in tension free tracheal anastomoses.

## KAYNAKLAR

- 1-Har-El G, Chaudry R, Shaha A, Luente FE. Resection of tracheal stenosis with end to end anastomosis. *Ann Otol Rhinol Laryngol*. 1993; 102: 670 - 74
- 2-Yalav E, Ökten İ. Trakea cerrahisi. Ankara: A. Ü. Tip Fak. Yayınları. 1979: 11 - 180
- 3-Grillo HC, Mathisen DJ. The trachea: Tumors, strictures and tracheal collaps. In: Baue AE, eds. *Glenn's Thoracic and Cardiovascular Surgery*. New Jersey: Appleton & Lange. 1991: 615 - 32
- 4-Grillo HC, Zannini P, Michelassi F. Complications of tracheal reconstruction. *J Thorac Cardiovasc Surg*. 1986; 91: 322 - 28
- 5-Nakanishi R, Shirakusa T, Mitsudomi T. Maximum length of tracheal autografts in dogs. *The Journal of Thoracic and Cardiovascular Surgery*. 1993; 106 ( 6 ): 1081 - 87
- 6-Grillo HC. Circumferential resection and reconstruction of the mediastinal and cervical trachea. *Annals of Surgery*. 1965; 162 ( 3 ): 374 - 87
- 7-Cull DL, Lally KP, Mair EA, et al. Tracheal reconstruction with polytetrafluoroethylene graft in dogs. *Ann Thorac Surg*. 1990; 50: 899 - 901
- 8-Grillo HC, Dignan EF, Miura T. Experimental reconstruction of cervical trachea after circumferential resection. *Surgery, Gynecology & Obstetrics*. 1966; April: 733 - 38
- 9-Mulliken JB, Grillo HC. The limits of tracheal resection with primary anastomosis. *Journal of Thoracic and Cardiovascular Surgery*. 1968; 55 ( 3 ): 418 - 21
- 10-Grillo HC, Dignan EF, Miura T. Extensive resection and reconstruction of mediastinal trachea without prothesis or graft: An anatomical study in man. *J Thoracic and Cardiovasc Surg*. 1964; 48 ( 5 ): 741 - 49

- 11-Toomes H, Linder A. Mucociliary clearance following tracheal resection and end to end anastomosis. *Thorac. Cardiovasc. Surgeon.* 1989; 37: 277 - 80
- 12-Mathey J, Binet JP, Galey JJ, et al. Tracheal and tracheobronchial resections. Technique and results in 20 cases. *Jornal of Thoracic and Cardiovascular Surgery.* 1966; 51 ( 1 ): 1-11
- 13-Papp C, McCraw JB, Arnold PG. Experimental reconstruction of the trachea with autogenous materials. *J. Thorac. Cardiovasc. Surg.* 1985; 90: 13 - 20
- 14-Spinazzola AJ, Graziano JL, Neville WE. Experimental reconstruction of the tracheal carina. *Journal of Thoracic and Cardiovascular Surgery.* 1969; 58 ( 1 ): 1 - 13
- 15-Nordin U, Ohlsen L. Prevention of tracheal stricture in end to end anastomosis. *Arch. Otolaryngol.* 1982; 108: 308 - 14
- 16-İnui K, Takahashi Y, Hasegawa S, et al. Effect of preoperative irradiation on wound healing after bronchial anastomosis in mongrel dogs. *The Journal of Thoracic and Cardiovascular Surgery.* 1993; 106 ( 6 ): 1059 - 64
- 17-Friedman E, Perez - Atayde AR, Silvera M, Jonas RA. Growth of tracheal anastomoses in lambs. Comparison of PDS and Vicryl suture material and interrupted and continuous techniques. *J. Thorac. Cardiovasc. Surg.* 1990; 100: 188 - 93
- 18-Gibbons JA, Peniston RL, Raflo CP, et al. A comparison of synthetic absorbable suture for construction of tracheal anastomoses. *Chest.* 1981; 79 ( 3 ): 340 - 42
- 19-Ferguson DJ, Wild JJ, Wangensteen OH. Experimental resection of the trachea. *Surgery.* 1950; 28 ( 3 ): 597 - 619
- 20-Odar İV. Anatomi. 7. Baskı. Ankara: Sistem Ofset Tesisleri. 1986: 189 - 93
- 21-Dere F. Anatomi. 2. Baskı. Adana: Okullar Pazarı Kitabevi. 1990: 540 - 42
- 22-Vidinel İ. Akciğer Hastalıkları. 3. baskı. İzmir: Ege Üniversitesi Basımevi. 1989: 10 - 11
- 23-Grillo HC. Surgical anatomy of the trachea and techniques of resection. In: Shields TW, eds. *General Thoracic Surgery.* Philadelphia: Williams & Wilkins. 1994: 481 - 92

24-Grillo HC. Management of non-neoplastic diseases of the trachea. In: Shields TW, eds.

General Thoracic Surgery. Philadelphia: Williams & Wilkins. 1994: 815 - 27

25-Jungueira LC, Carneiro J, Kelley RO. Solunum sistemi. In: Aytekin Y, eds. Temel Histoloji. İstanbul: Barış Kitabevi. 1993: 397 - 420

26-Erbengi T. Histoloji 2. 1. Baskı. İstanbul: Beta Basım Yayım Dağıtım A.Ş. 1985: 39 - 41

27-Dunn DC, Rawlinson N. Dikişler ve drenler. In: Atalay MC, eds. Cerrahi Tanı ve Tedavi. Ankara: Hekimler Yayın Birliği. 1994: 121 - 26

28-Hsieh CM, Tomita M, Ayabe H, et al. Influence of suture on bronchial anastomosis in growing puppies. *J. Thorac. Cardiovasc. Surg.* 1988; 95: 998 - 1002

29-Vural FS, Öz B, Yıldırım İS ve ark. Köpeklerde deneysel trachea anastomozlarında kontinü ve separe teknik ile absorbabl ve non-absorbabl dikiş materyallerinin kullanılmasının trakeanın gelişme ve iyileşmesi üzerindeki etkileri. *Cerrahpaşa Tip Fak. Der.* 1992; 23: 527-32

30-Conn J, Oyasu R, Welsh M, Beal JM. Vicryl ( polyglactin 910 ) synthetic absorbable sutures. *The American Journal of Surgery.* 1974; 28: 19 - 23

31-Laufman H, Rubel T. Synthetic absorbable sutures. *Surgery, Gynecology & Obstetrics.* 1977; 145: 597 - 608

32-McKeown PP, Tsuboi H, Togo T, et al. Growth of tracheal anastomoses: Advantage of absorbable interrupted sutures. *Ann Thorac. Surg.* 1991; 51: 636 - 41

33-Ray JA, Doddi N, Regula D, et al. Polydioxanone ( PDS ), a novel monofilament absorbable suture. *Surg. Gynecol. Obstet.* 1981; 153: 497 - 507

34-Grillo HC, Donahue DM, Mathisen DJ, et al. Postintubation tracheal stenosis. *The Journal of Thoracic and Cardiovascular Surgery.* 1995; 109 ( 3 ): 486 - 92

35-Grillo HC. Surgical treatment of postintubation tracheal injuries. *J. Thorac Cardiovasc Surg.* 1979; 78: 860 - 75

36-Burrrington JD. Tracheal growth and healing. *The Journal of Thoracic and Cardiovascular Surgery*. 1978; 76 ( 4 ): 453 - 58

37-Murakami S, Sato H, Yokoi N, et al. An experimental study of tracheal reconstruction using a freed piece of the right bronchus. *Thorac. Cardiovasc. Surgeon*. 1994; 42: 76 - 80

38-Maeda M, Grillo HC. Effect of tension on tracheal growth after resection and anastomosis in puppies. *The Journal of Thoracic and Cardiovascular Surgery*. 1973; 65 ( 4 ): 658 - 68

39-Montgomery WW. Suprathyroid release for tracheal anastomosis. *Arch Otolaryngol*. 1974; 99: 255 - 60

40-Grillo HC, Bendixen HH, Gephart T. Resection of the carina and lower trachea. *Annals of Surgery*. 1963; 158 ( 3 ): 889 - 93

41-Perelman MI, Koroleva NS. Surgery of the trachea. *World J. Surg.* 1980; 4: 583 - 93

42-Cantrell JR, Folse JR. The repair of circumferential defects of the trachea by direct anastomosis: Experimental evaluation. *J. Thoracic and Cardiovas. Surg.* 1961; 42 ( 5 ): 589 - 98

43-Grillo HC, Mathisen DJ. Primary tracheal tumors: Treatment and results. *Ann. Thorac Surg.* 1990; 49: 69 - 77

44-Idriss FS, De Leon SY, Ilbawi M, et al. Tracheoplasty with pericardial patch for extensive tracheal stenosis in infants and children. *J. Thorac. Cardiovas. Surg.* 1984; 88: 527 - 36

45-Couraud L, Brunegeau A, Martigne C, Meriot S. Prevention and treatment of complications and sequelae of tracheal resection and anastomosis. *Int. Surg.* 1982; 67 ( 3 ): 235 - 39

46-Grillo HC. Reconstruction techniques for extensive postintubation tracheal stenosis. *Int. Surg.* 1982; 67 ( 3 ): 215 - 20

- 47-Maeda M, Grillo HC. Tracheal growth following anastomosis in puppies. The Journal of Thoracic and Cardiovascular Surgery. 1972; 64 ( 2 ): 304 - 13
- 48-Grillo HC. Reconstruction of the trachea. Experience in 100 consecutive cases. Thorax. 1973; 28: 667 - 79
- 49-Grillo HC. Congenital lesions, neoplasms, inflammation, infections, injuries and other lesions of the trachea. In: Sabiston DC, Spencer FC, eds. Surgery of the Chest. Philadelphia: W.B. Saunders Company. 1995: 401 - 43
- 50-Naruke T, Yoneyama T, Ogata T, Suemasu K. Bronchoplastic procedures for lung cancer. The Journal of Thoracic and Cardiovascular Surgery. 1977; 73 ( 6 ): 927 - 35
- 51-Santoli E. Non-absorbable interrupted sutures for tracheal anastomosis in childhood. Ann. Thorac. Surg. 1992; 53: 1147 - 52
- 52-Lynn RB, Iyengar K. Traumatic rupture of the bronchus. Chest. 1972; 61 ( 1 ): 81 - 3
- 53-Sezeur A, Leandri J, Rey P, et al. Etude experimentale du comportement des fils synthetiques à résorption lente dans les sutures tracheales. Ann. Chir. 1982; 36: 121
- 54-Sheele J, Gentrch HH, Hoffmann W, Pesch HJ. Anastomosentechnik an der trachea. Laryngol. Rhinol. Otol ( Stuttg ). 1982; 61: 107 - 14